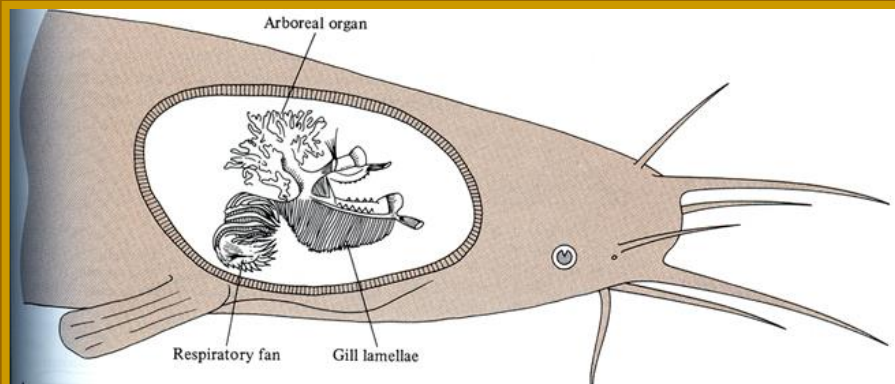


RESPIRACE ZE VZDUCHU

A) RYBY

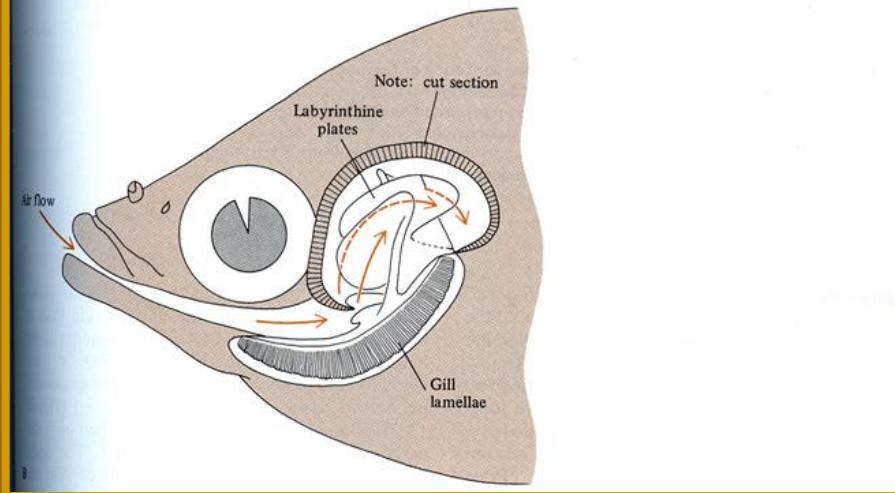
respirační vaskularizované tkáně: kůže, epitely úst, žaludku, střeva, hltanové vaky, modifikované žábry (nadžábrové labyrinty), plynový měchýř, plíce



Keříčkovitý orgán keříčkovce *Clarias*



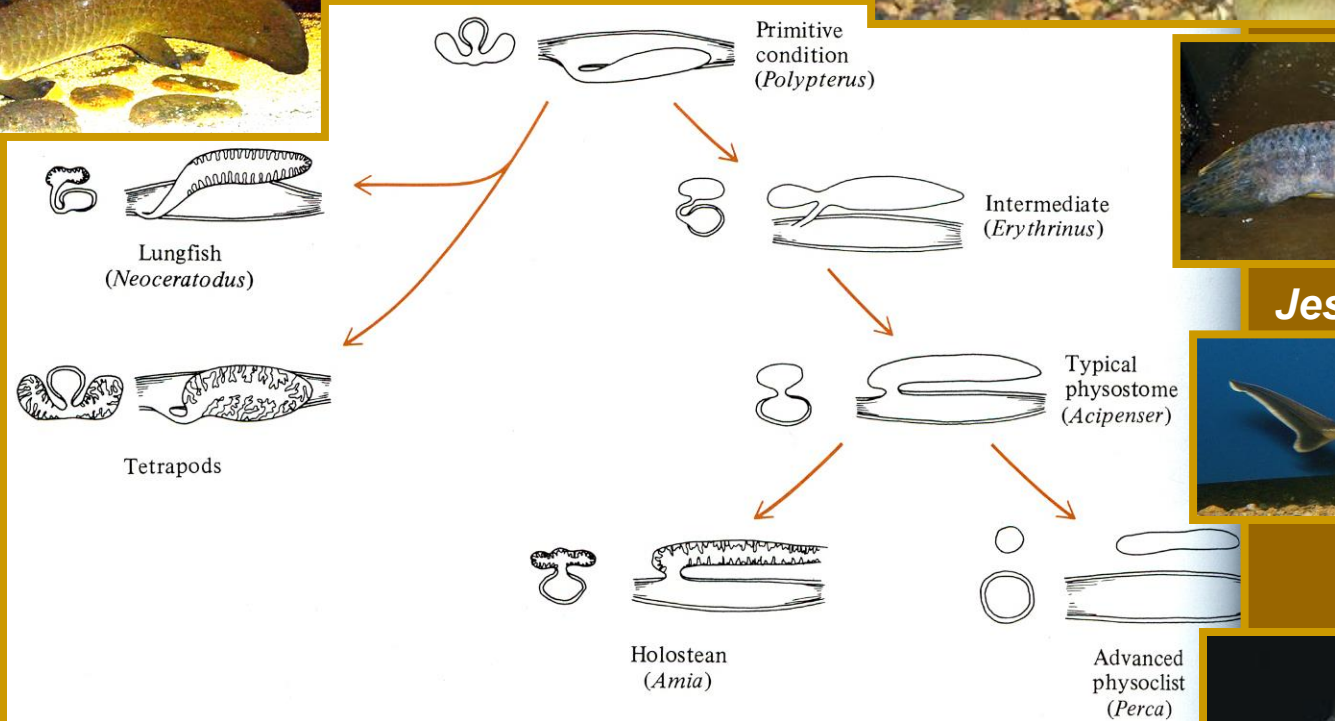
a nadžaberní labyrint guramy *Osphronemus*



	HABITAT	RESPIRAČNÍ TKÁŇ / ORGÁN
<i>Gymnotiformes</i>	řeky, bažiny	ústní dutina/hltan, žaberní dutina
<i>Polypteriformes</i>	sladké vody	zdušné vaky
<i>Synbranchiformes</i>	bažiny, rybníky	nadžaberní vzdušné vaky
<i>Siluriformes</i>	rybníky, bažiny, řeky	nadžaberní vzdušné vaky, keříčkovitý žaberní orgán žaludek, střevo, plynový měchýř intestinum
<i>Cypriniformes</i>	rybníky, tůňky, řeky, bentické vody	
<i>Perciformes</i>	rybníky, bažiny, řeky, skalnaté říčky	nadžaberní vzdušné vaky, žaberní dutina, kůže, ústní dutina, nadžaberní labyrinth kůže
<i>Anguilliformes</i>	řeky	plynový měchýř
<i>Amiiformes</i>	sladké vody	plynový měchýř
<i>Lepisosteiformes</i>	sladké vody	plynový měchýř
<i>Salmoniformes</i>	stojaté vody	plynový měchýř
<i>Osteoglossiformes</i>	sladké vody, bažiny	plynový měchýř
<i>Gonorynchiformes</i>	řeky	plíce
<i>Lepidosireniformes</i>	řeky	plíce

Evoluce plic a plynového měchýře jako derivátu hltanu

Bahníci



Bichiři



Trahiři



Jeseteři



Okounovití

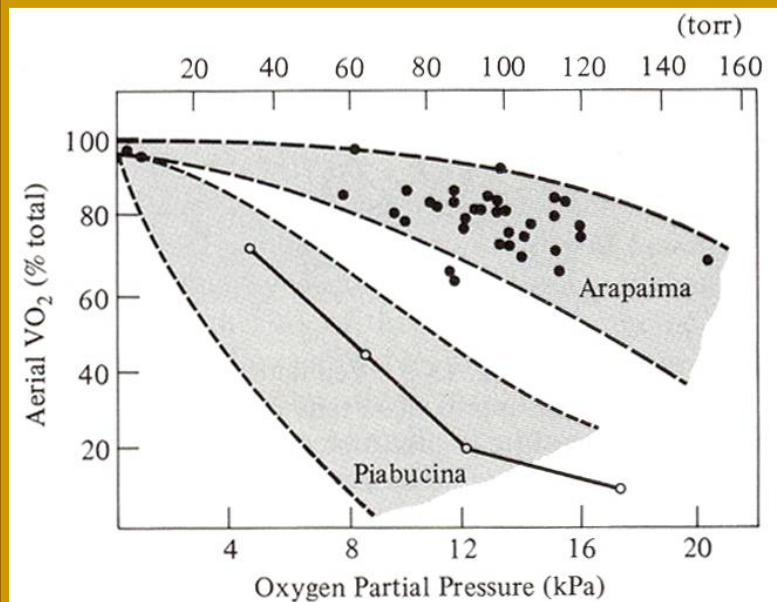


Amia (Kaprouni)



Podíl výměny O_2 ze vzduchu (A) a vody (V), respirační kvocient (RQ) ve vzduchu, vodě a celkově u vzduch dýchajících ryb v „normoxické“ vodě.

	velikost (g)	total O_2 (ml/kg min)	% A/V(O_2)	RQ(A/V/ total)
<i>Lepidosiren</i> plíce	500	0,37	96 / 4	0,45 / 6,7 / 0,73
<i>Protopterus</i> plíce	3250	0,19	89 / 11	0,25 / 4,7 / 0,75
<i>Lepisosteus</i> plynový měchýř	600	0,89	73 / 27	0,09 / 2,7 / 0,8
<i>Anabas</i> labyrinth	40	1,88	54 / 46	0,2 / 2,29 / 1,17
<i>Amia</i> plynový měchýř	1200	1,5	35 / 65	0,6 / 1,4 / 1
<i>Neoceratodus</i> plíce	6000	0,25	0 / 100	- / 0,72 / 0,72



Znázornění přechodu mezi vzdušným a vodním dýcháním v závislosti na parciálním tlaku O_2 ve vodě u dvou ryb s odlišnou preferencí vodního a vzdušného dýchání (obě plynový měchýř).

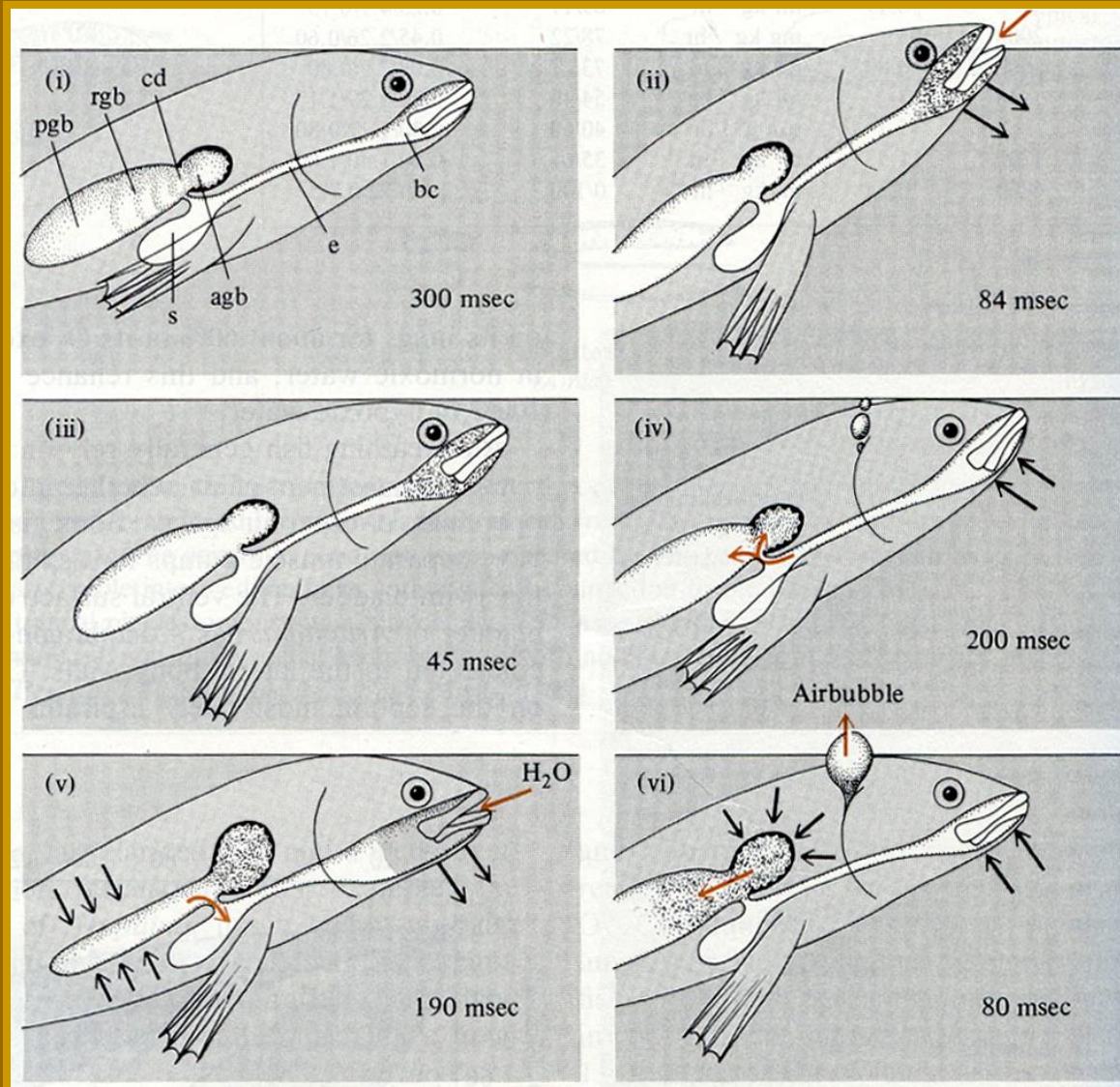


Arapaima – sladké vody

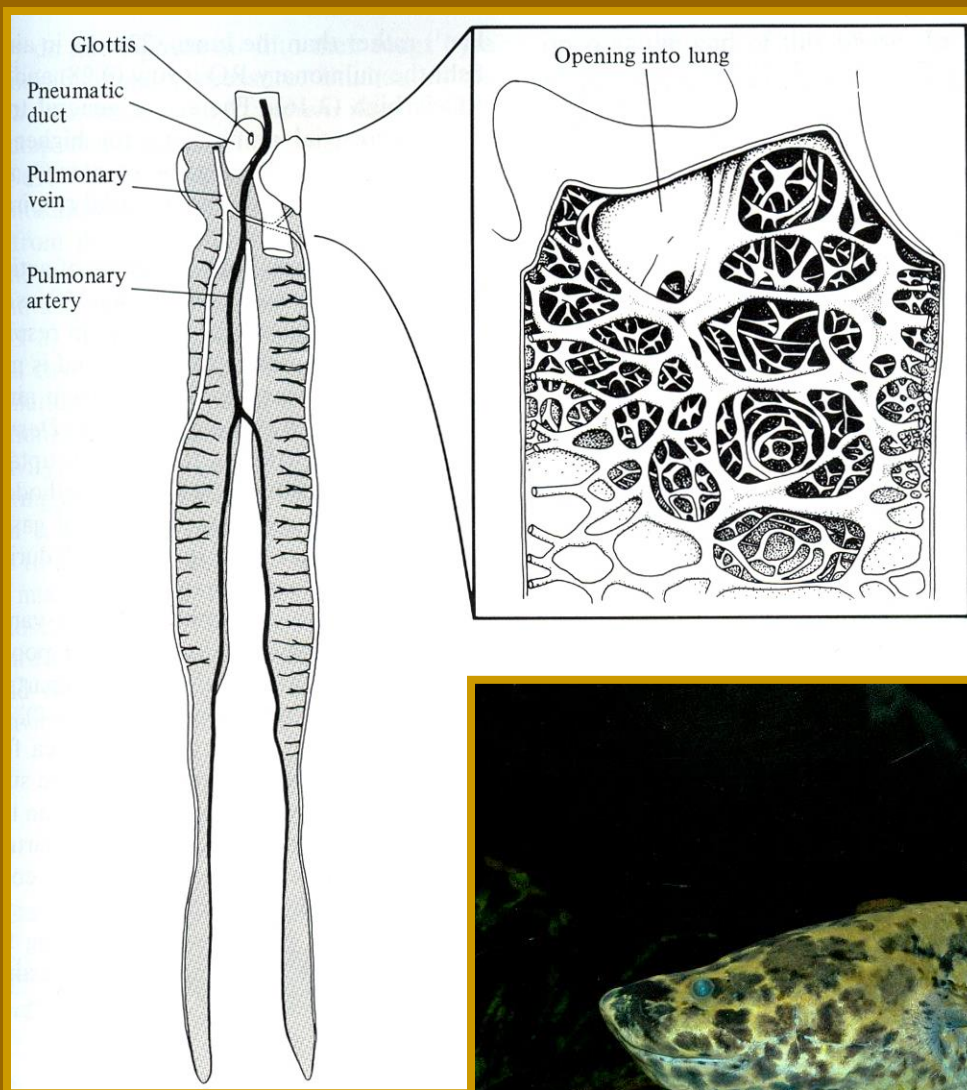


Piabucina - bažiny

Ventilační cyklus u trahira (*Hoplerythrinus unitaeniatus*)



bc – ústní dutina
e – jícen
s – žaludek
agb – přední plynový měchýř
rgb - resprační plynový měchýř
pgb – zadní plynový měchýř
cd – komunikační kanál



Velmi dobře vyvinuté plíce
bahníka východoafrického



Bahník východoafrický
(*Protopterus aethiopicus*)

B) OBOJŽIVELNÍCI

velká variabilita v rozvoji a využívání plic pro dýchání, obecně velký význam
dýchání kůží, případně žábrami

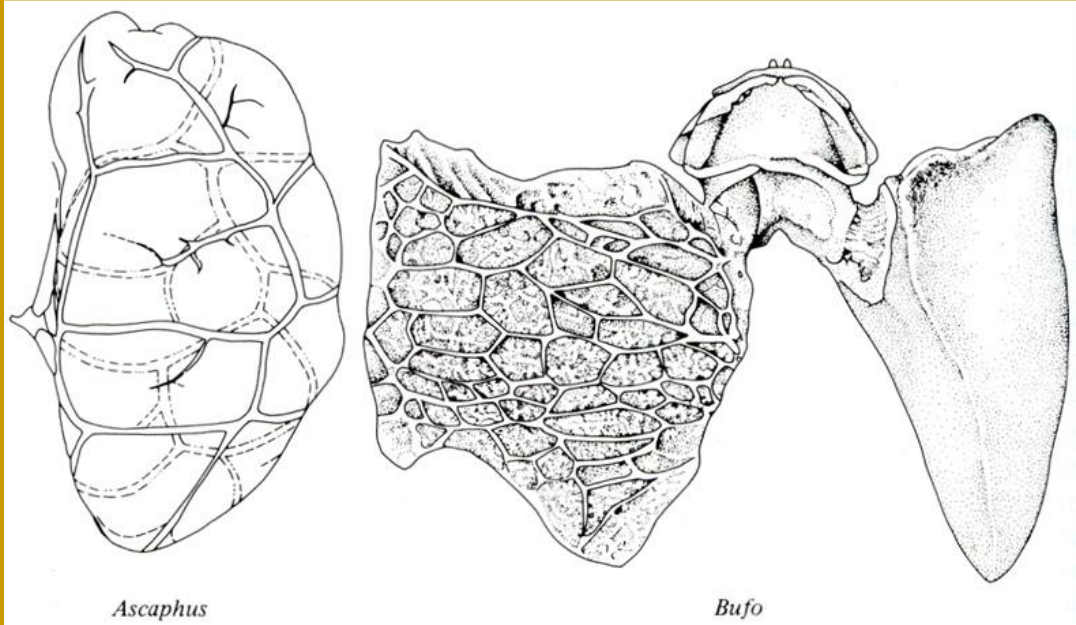
Zastoupení jednotlivých orgánů
ve výměně O_2 a CO_2 u mloka
(*Necturus*) při teplotě 25°C.

	O_2	CO_2
plíce	10 %	12 %
žábry	60 %	61 %
kůže	30 %	27 %
total	26,1	23,7
($\mu\text{l } O_2 / \text{g h}$)		



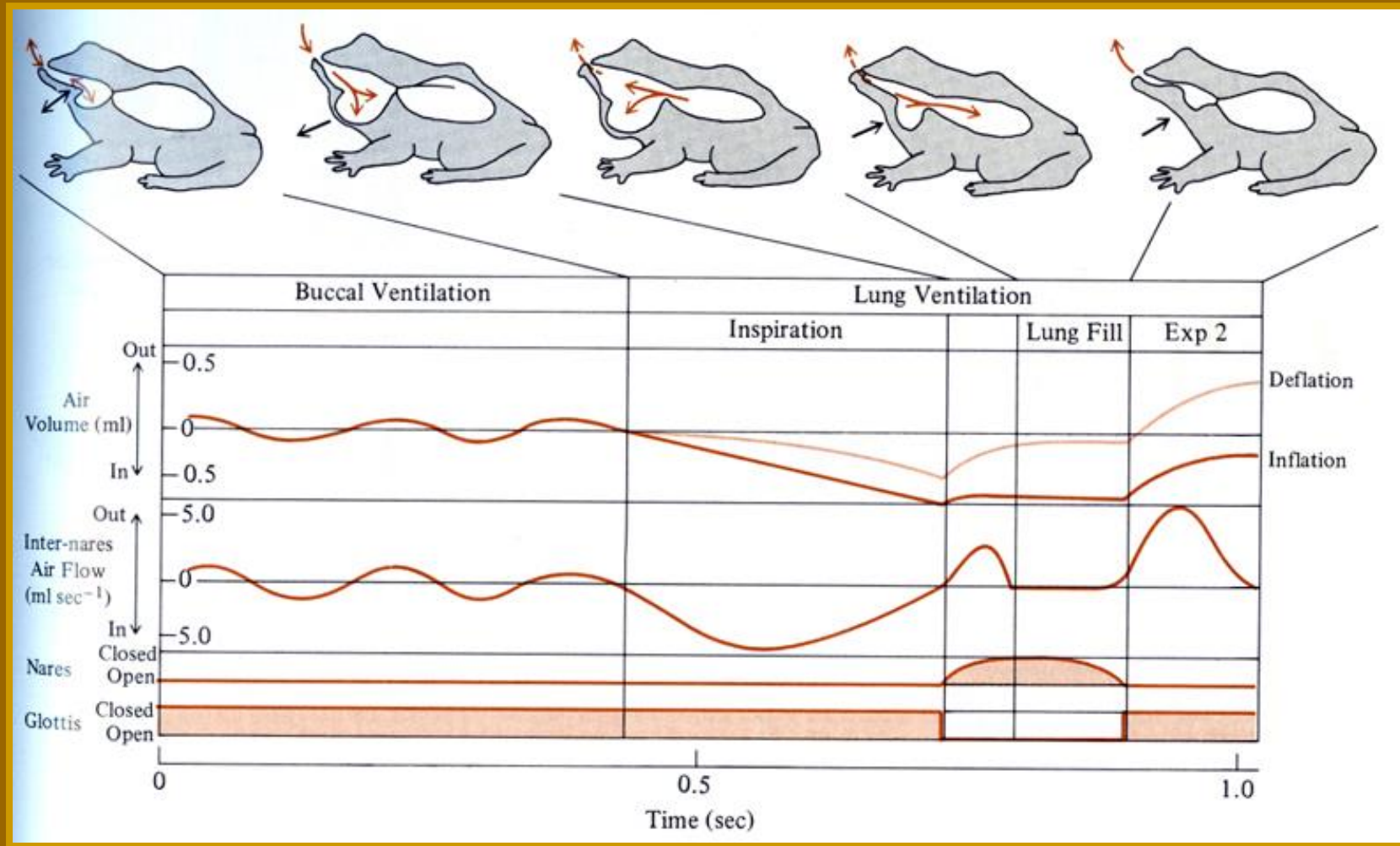
Bufo marinus

Různě vyvinuté plíce ocasatky (*Ascaphus*)
a ropuchy (*Bufo*)



Plicní ventilace u obojživelníků

- na rozdíl od vyspělejších skupin obratlovců, podobně jako vzduch dýchající ryby, nevyužívají k nasávání vzduchu negativní tlak v plicích

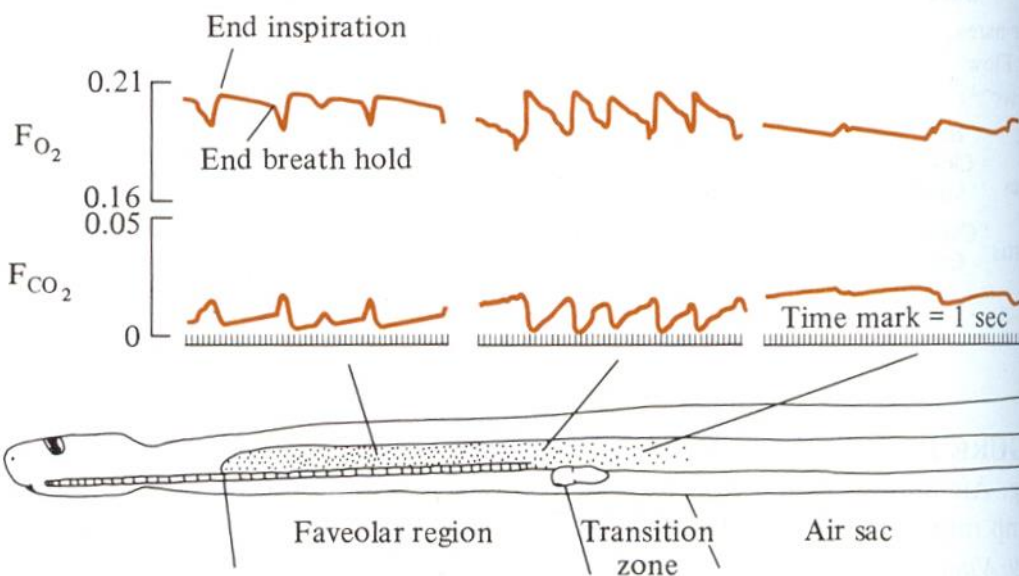
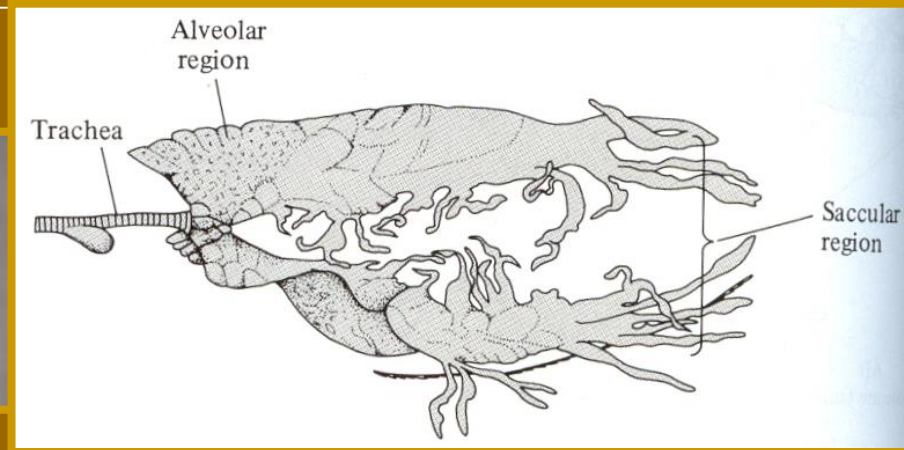


C) PLAZI

velká variabilita v rozvoji plic, ale dýchání je již na nich plně závislé,
poprvé se objevuje využití negativního plicního tlaku pro vdech

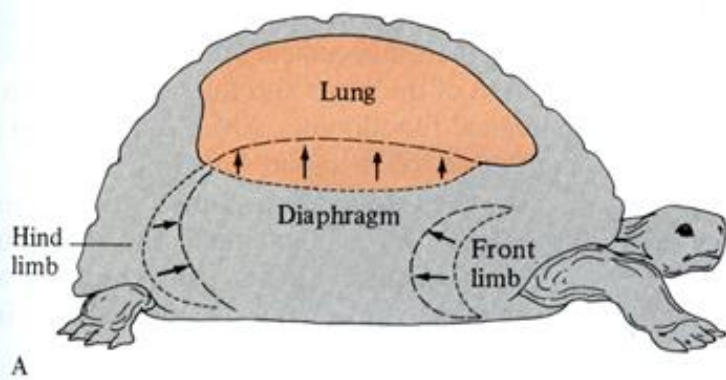
- dobře vyvinutá žebra a mezižeberní svaly

Rozvětvené plíce chameleona
(*Chameleon zeylanicus*)

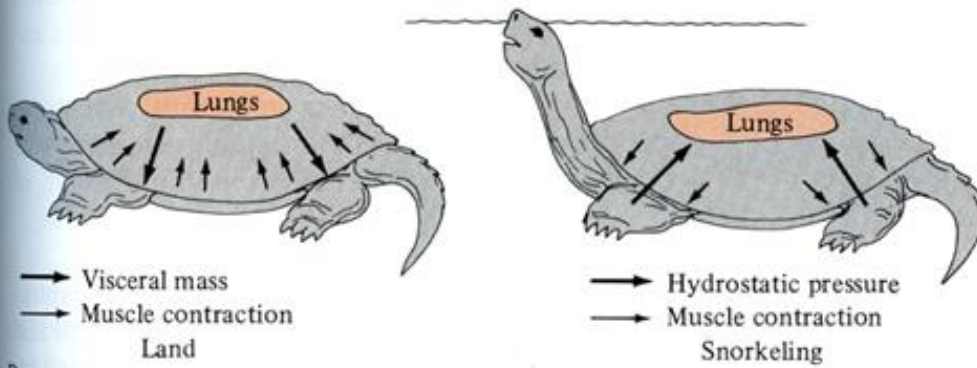


Dýchací cyklus a fluktuace O_2 a CO_2
v plíci zmije (*Vipera xanthina*)

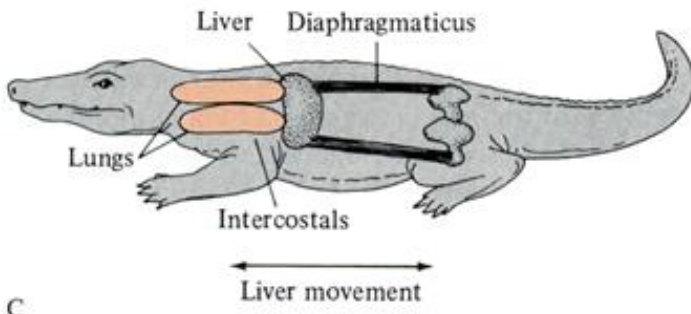




A



B



C

Želvy mají srostlá a nepohyblivá žebra
=> mají dobře vyvinutou bránici, a zároveň regulují tlak v plicích pohybem končetin

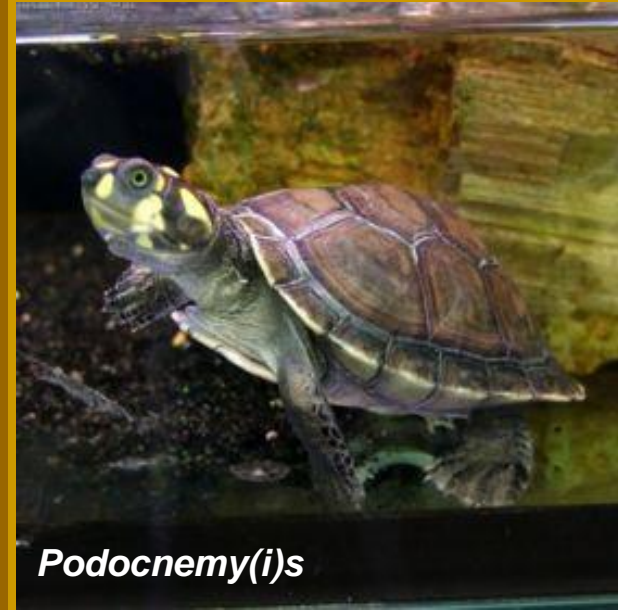


Krokodýlové, podobně jako hadi a ještěři nemají bránici a pouze minimálně využívají pohyb dobré vyvinutých žeber a mezižeberních svalů k dýchacím pohybům. Rozpínání plic zajišťují pohybem jater diafragmatikem

Plazi obývající vody (zejména krokodýli a želvy) využívají hydrostatický tlak pro pasivní výdech. Mnozí mají také větší podíl kožního dýchání něž suchozemské druhy.

Např. u mořských hadů při ponoření, kůže zprostředkuje výměnu až 94 % CO₂ a 33 % O₂. Některé vodní želvy (*Amyda*, *Aspidonotus*) jsou schopny vstřebávat O₂ z vody sliznicí v ústech a hltanu. Amazonská želva (*Podocnemy(i)s*) je běžně schopná získat až 90 % potřebného O₂ rytmickým proplachováním kloaky okolní vodou. Želvy (*Trionyx*) při ponření, také intenzivně využívají příjem O₂ z vody

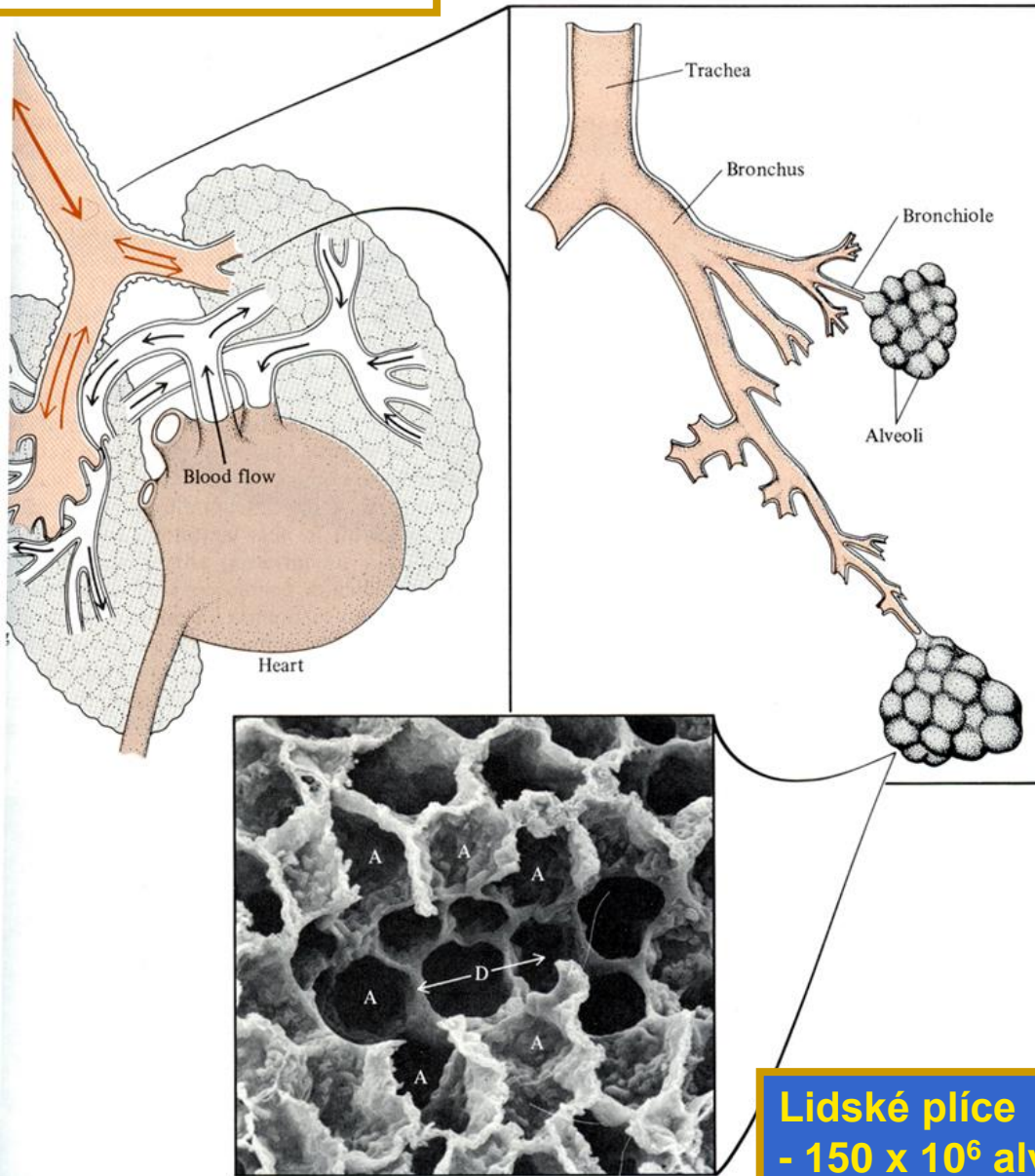
přes ústní a hltanovou sliznici, v menší míře také využívají kožní dýchání. Obecně, mnozí tetrapodi významnou část CO₂ uvolňují kůží.



D) SAVCI

- obecně velmi dobře vyvinuté plíce s nepostradatelnou funkcí pro dýchání
- ventilace je zprostředkována pohybem žeber a bránice
- u mnohých je plicní ventilace synchronizována s pohybem
 - klokani ~ pístový efekt při skocích
 - synchronizace s chůzí (různé poměry, 1:1, 1:2,...)
 - netopýři s máváním křídly (1:1)
- intenzita ventilace a perfúze není ve všech alveolech stejná
horní (menší ventilace i perfúze) x dolní část plic

Schéma savčích plic



Lidské plíce

- 150×10^6 alveolů o průměru 150-300 μm
- celková plocha alveolů = $80 \text{ m}^2 \sim 9 \times 9 \text{ m}$

E) PTÁCI

- pravděpodobně nejúčinněji vyvinuté plíce s nepostradatelnou funkcí pro dýchání
- v průběhu ventilace nemění svůj objem, ventilace je prováděna důmyslným systémem vzdušných vaků napojených na plíce a tracheu tyto vaky obklopují vnitřnosti a pronikají i do velkých dlouhých kostí (humerus, femur)
 - u plicních vaků se předpokládá i termoregulační funkce
- plicní ventilace synchronizována s pohybem - s máváním křídly (1:1)

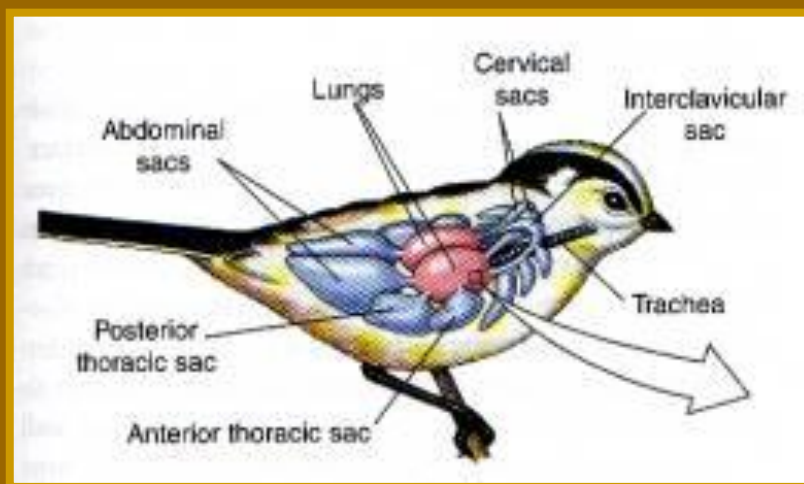
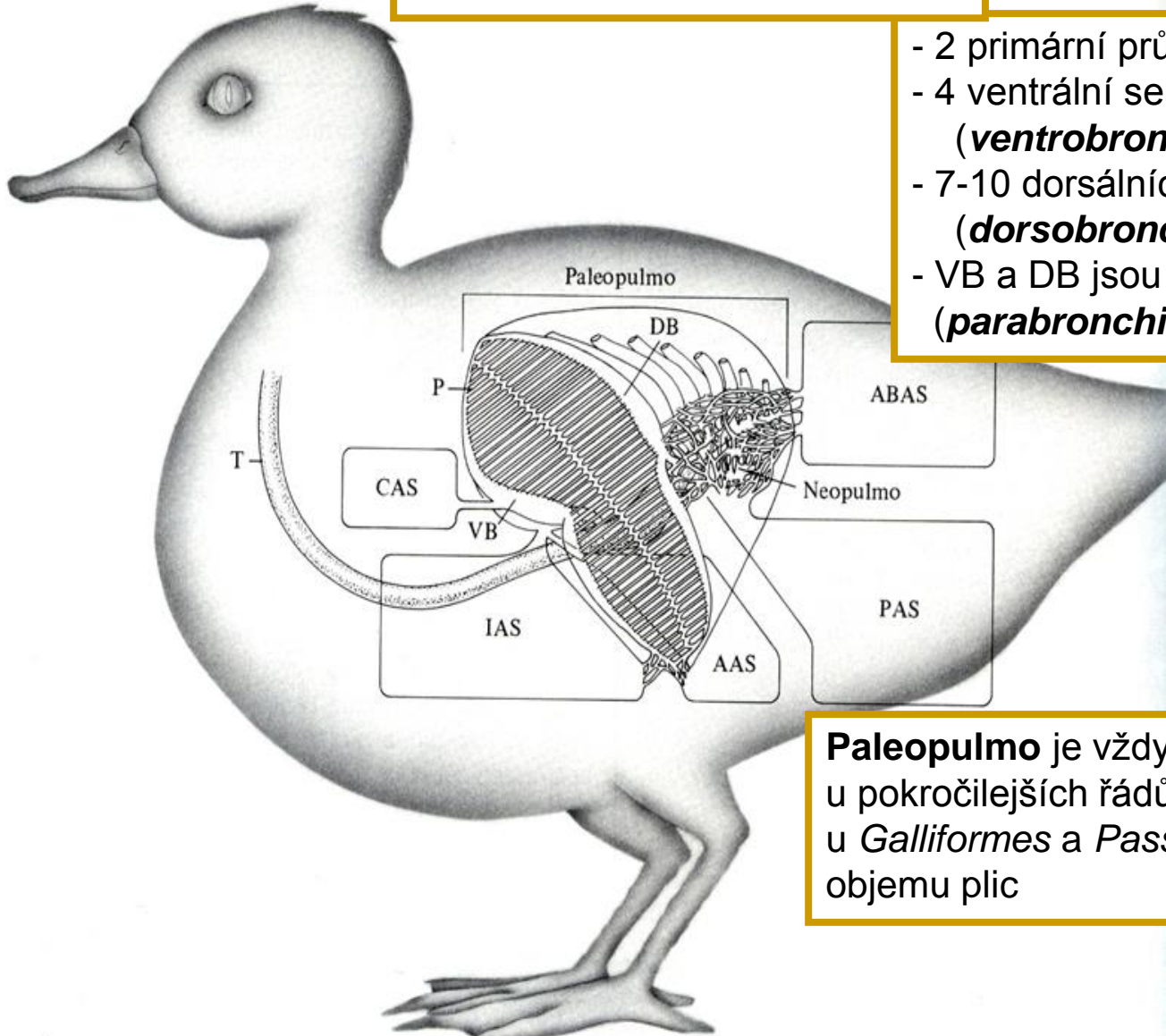


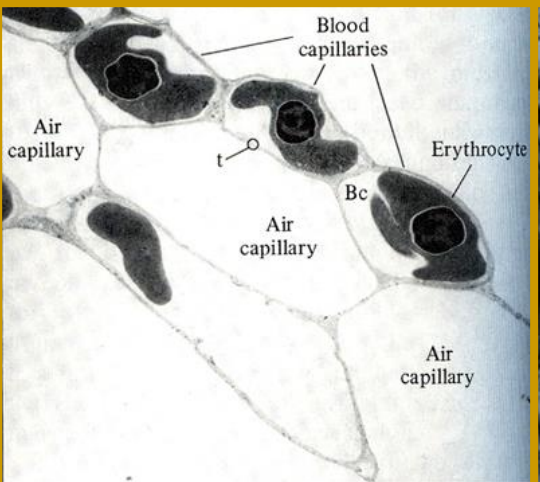
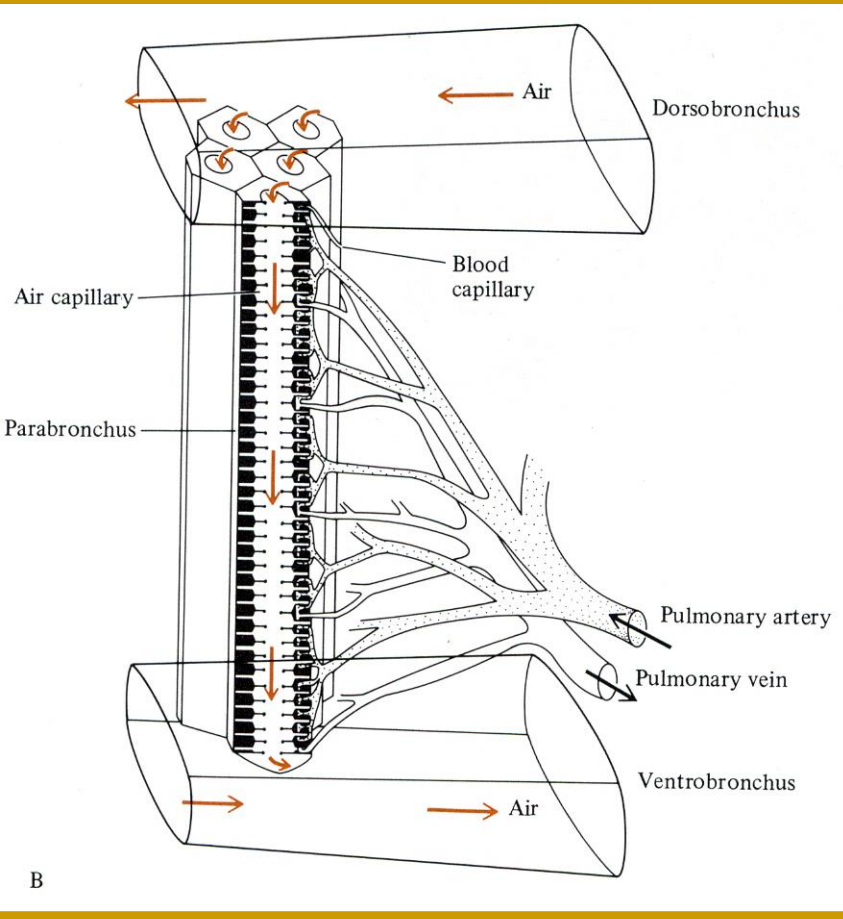
Schéma ptačích plic



- 2 primární průdušnice (**bronchi**)
- 4 ventrální sekundární průdušnice (**ventrobronchi - VB**)
- 7-10 dorsálních sekundárních průdušnic (**dorsobronchi - DB**)
- VB a DB jsou spojeny množstvím kanálků (**parabronchi – P**)

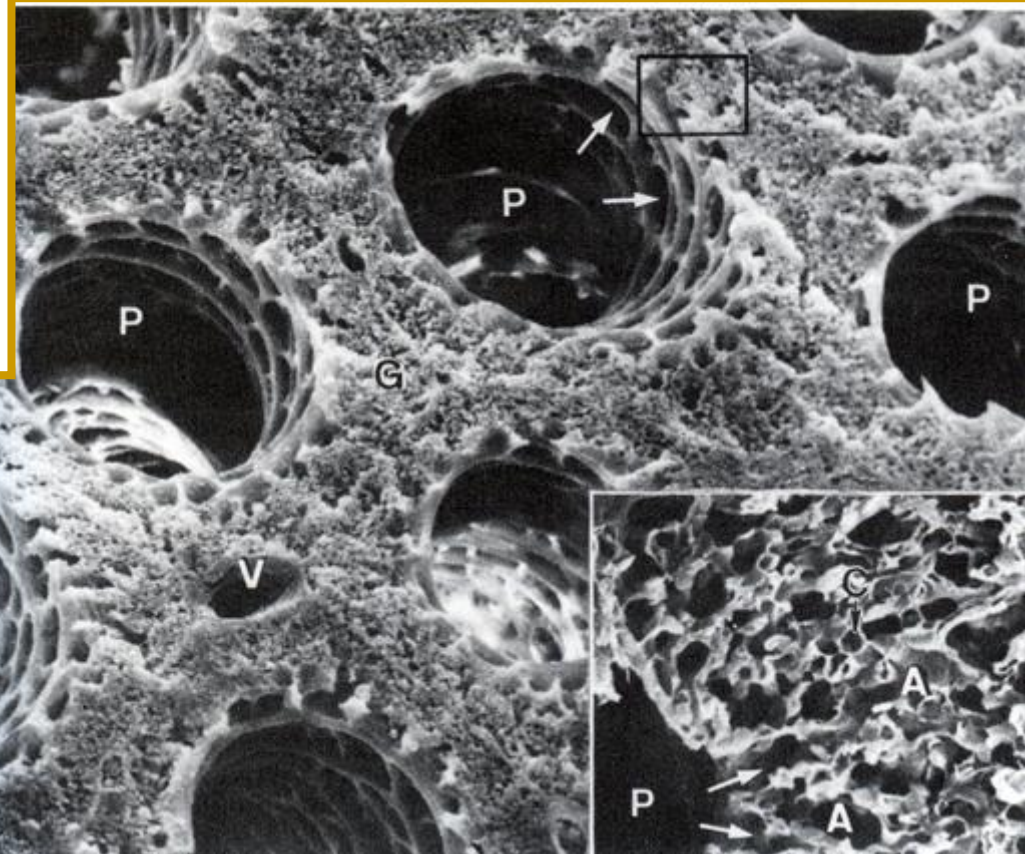
Paleopulmo je vždy, neopulmo jen u pokročilejších řádů (např. emuové nemají), u *Galliformes* a *Passeriformes* tvoří až 25% objemu plic

T – trachea; CAS – cervikální, IAS interclavikulární, AAS – antero thorakální, PAS – posteriol thorakální a ABAS – abdominální vzdušný vak

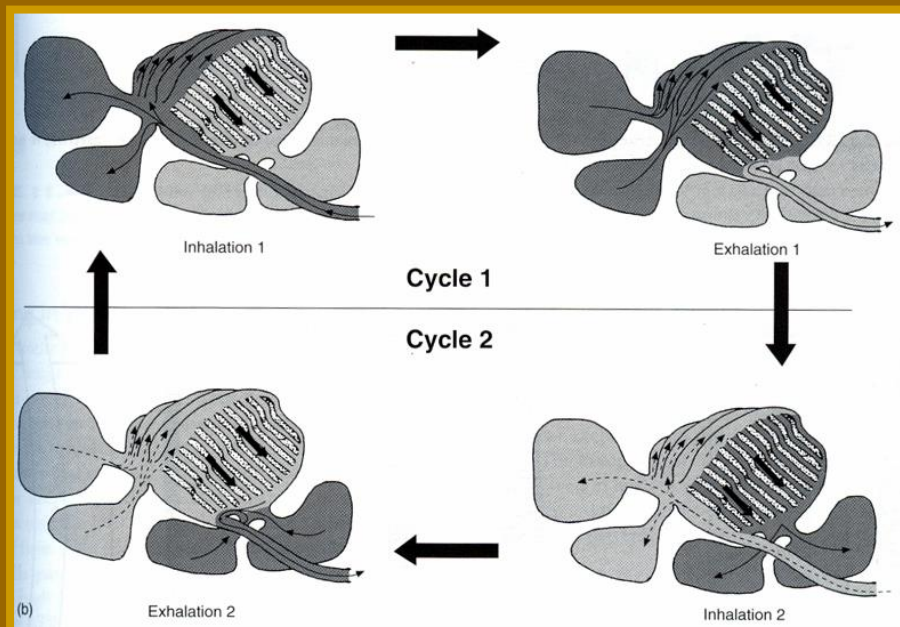
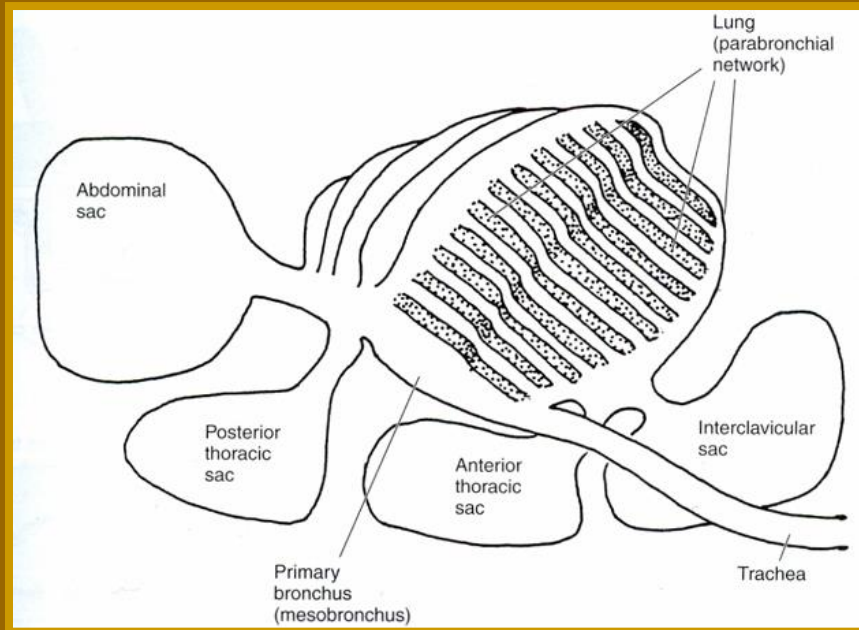
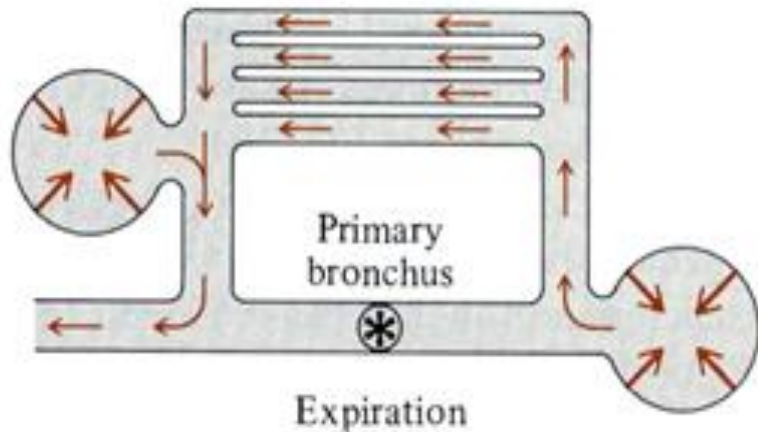
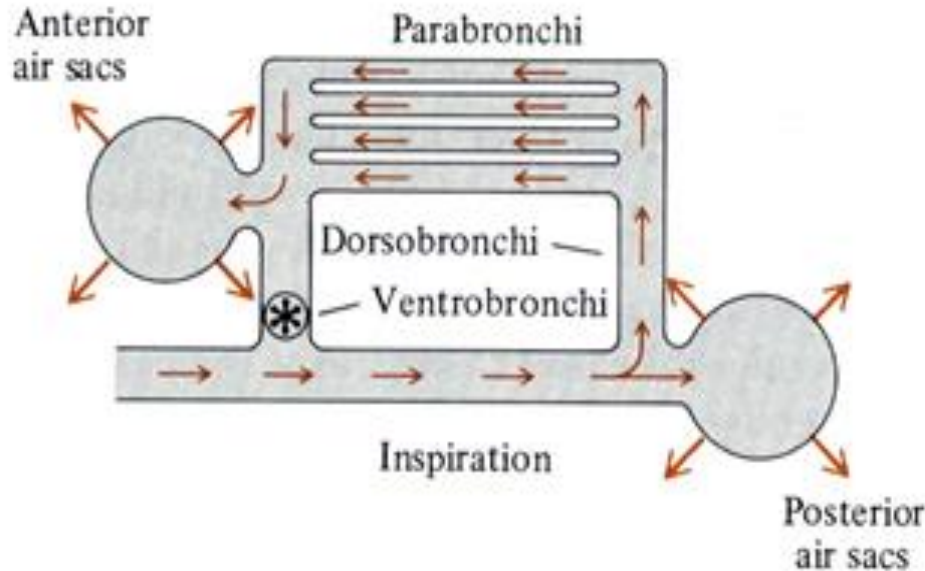


Mikroskopická struktura ptačích plic

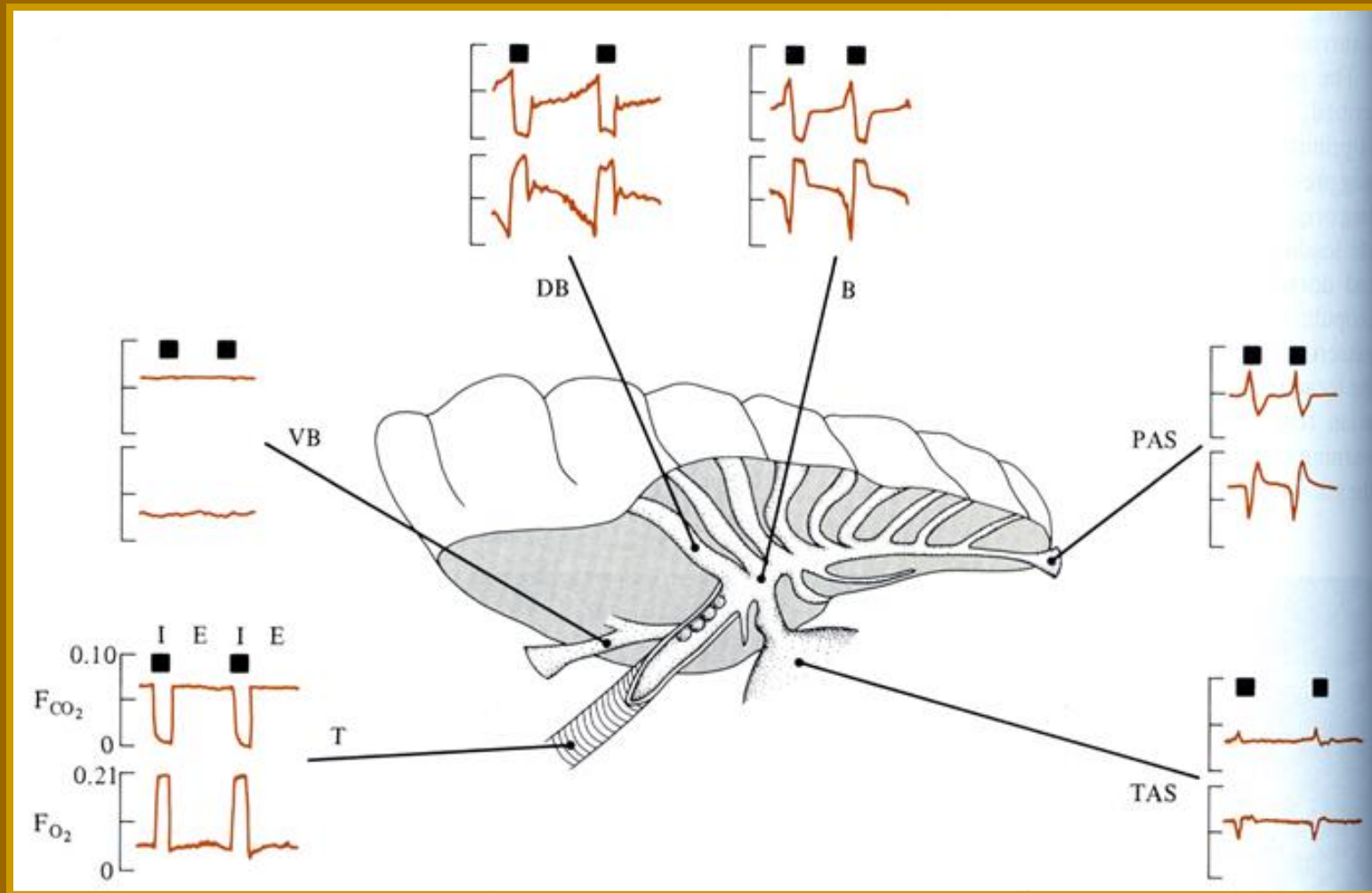
P – parabronchi, G – tkáň výměny plynů,
A – vzdušné kapiláry, V – cévy, C – krevní kapiláry



Znázornění proudů inspirovaného a expirovaného vzduchu v plicích ptáků



Změny parciálních tlaků CO_2 a O_2 v jednotlivých částech plic ptáků při inspiraci (I) a expiraci (E) vzduchu

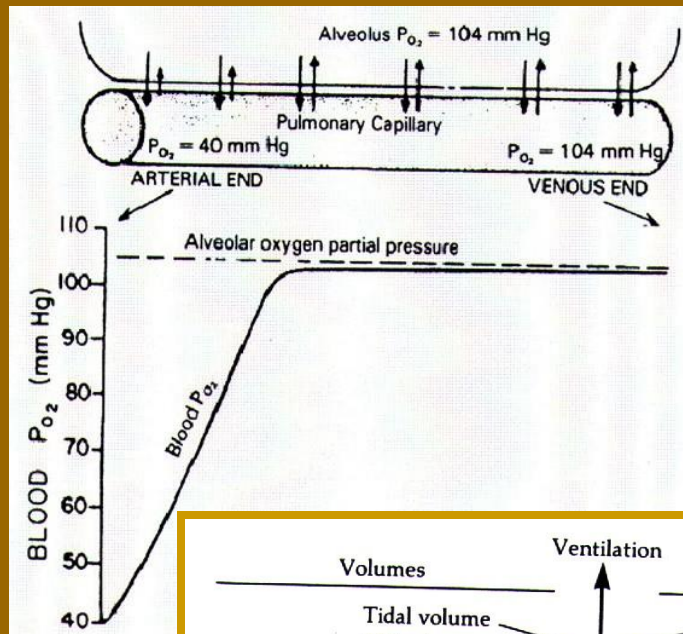


T – trachea, **B** – primární bronchus, **PAS** - posteriární vzdušný vak,
TAS – thoratický vzdušný vak, **VB** – ventrobronchus, **DB** – dorso bronchus

Principy plicní ventilace

Ventilace

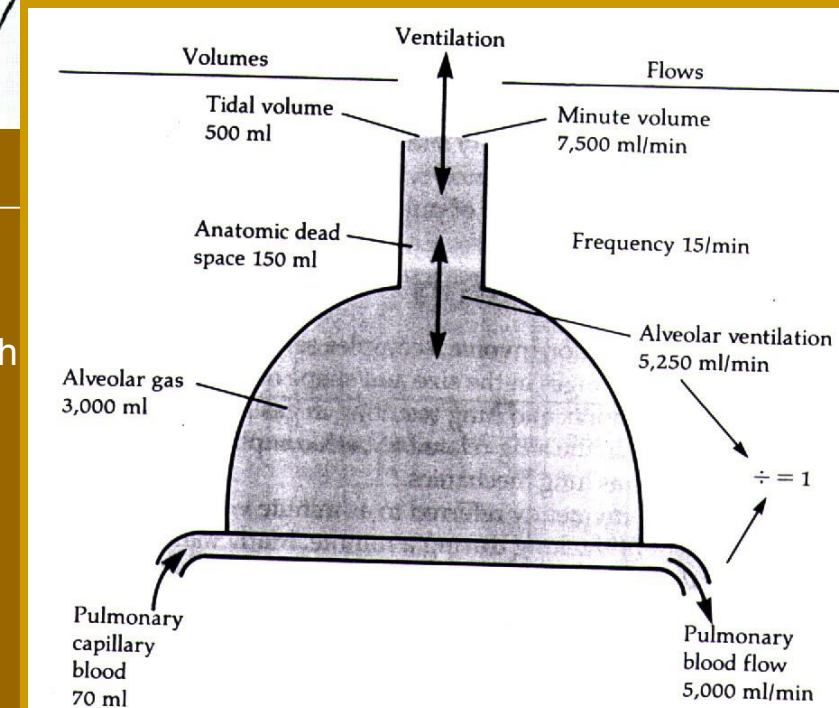
- ventilační objem
- residuální objem
- anatomický mrtvý prostor
- fyziologický mrtvý prostor
- inspirační minutový objem



Parciální tlaky (kPa) plynů v různých částečích plic člověka

vzduch mrtvý prostor alveoly vydechovaný vzduch

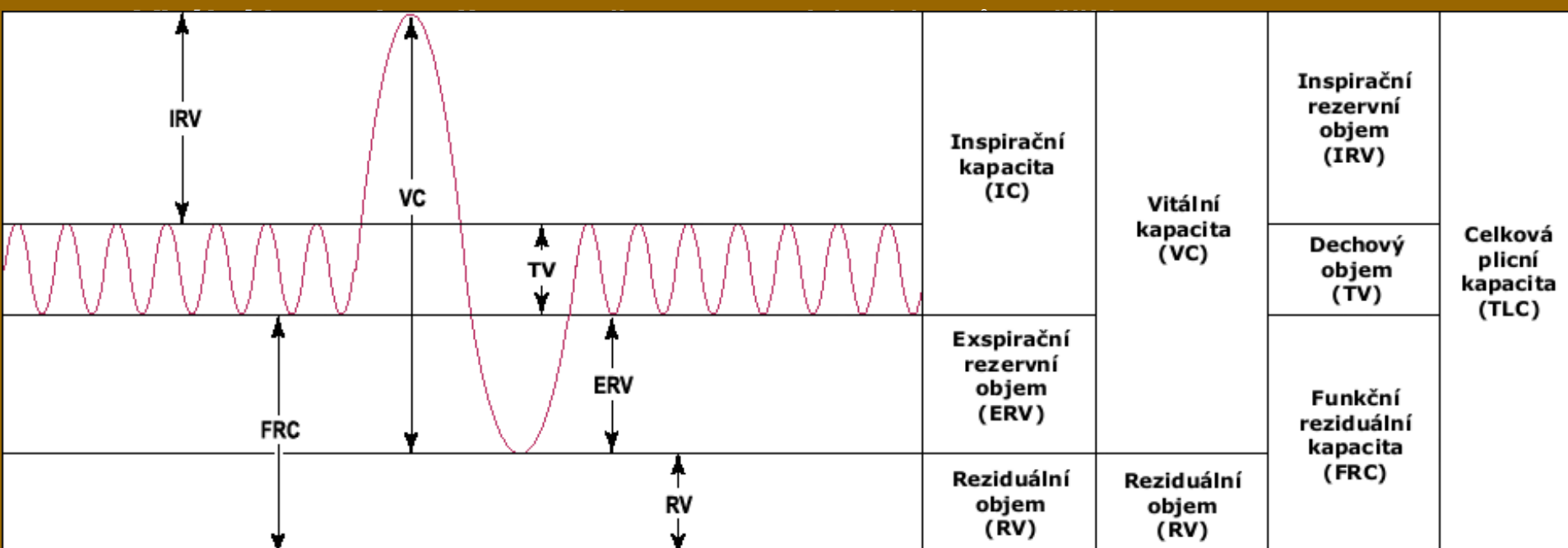
O ₂	21,1	19,8	13,8	15,9
CO ₂	0,039	0,037	5,32	3,59
vodní páry	0,53	6,25	6,25	6,25
N ₂	79,3	74,8	75,6	75,2
celkem	101	101	101	101



Dechový (respirační) objem - ~ 500ml v klidu (člověk)

Inspirační reverzní objem - ~ 2500ml (člověk), maximum co lze vdechnout

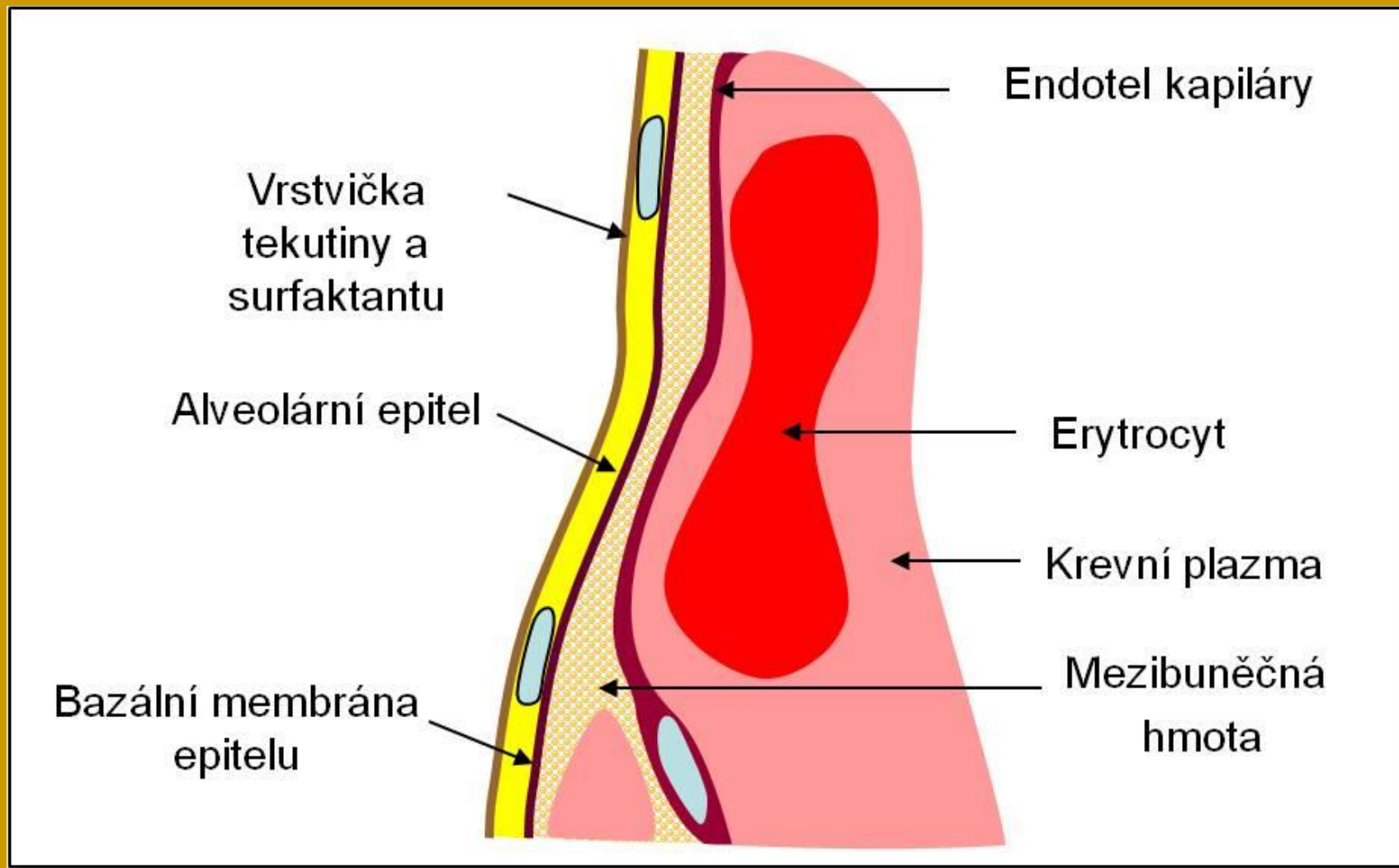
Exspirační reverzní objem - ~ 1000ml (člověk), maximum výdechu v klidu



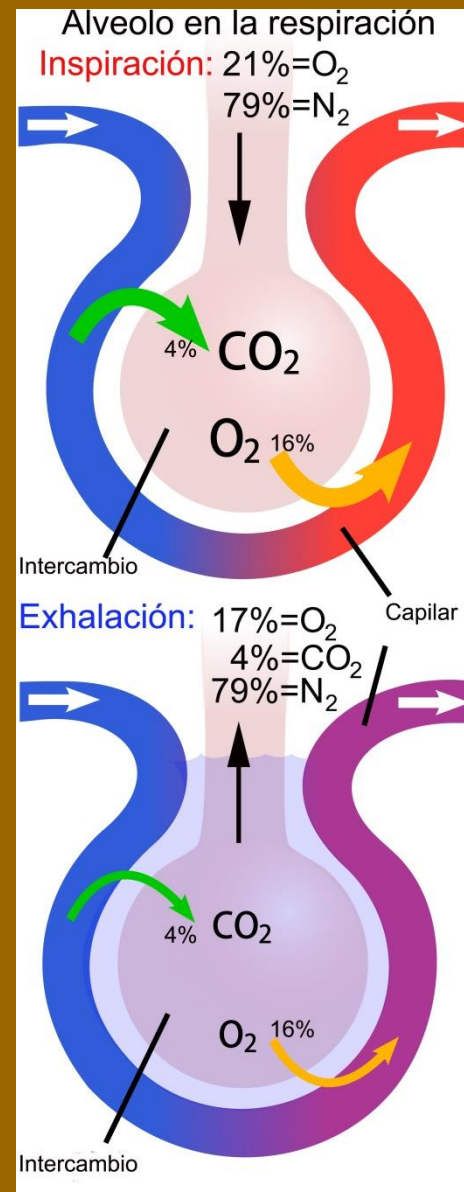
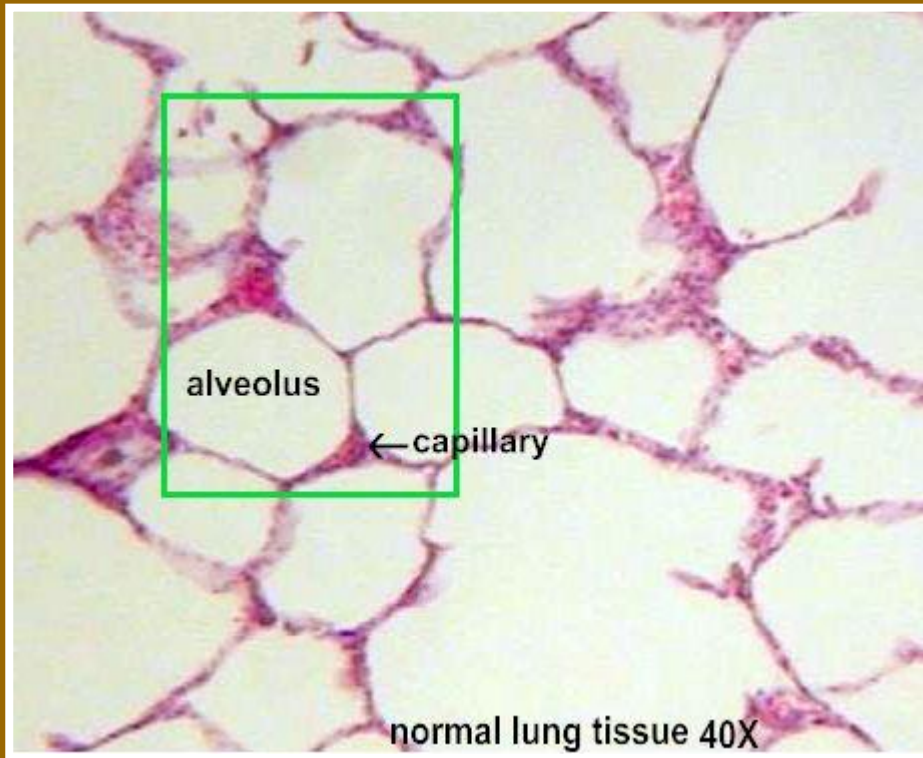
Reziduální objem = objem kolapsový (uvolní se po plicním kolapsu, pneumotoraxu)
+ objem minimální (část prvního nadechnutí při narození)

Transalveolární výměna plynů

- difúzní vzdálenost
- plicní difúzní kapacita O_2



Alveolární vzduch – řízení ventilace udržuje stejné složení – 13-16% O₂ a 4-5% CO₂



Difúzní vzdálenosti mezi vnějším médiem a krví v kapilárách u různých vzduch dýchajících organismů

difúzní vzdálenost (μm)

tlamovec (*Haplochromis*) 0,31-2,0

keříčkovec (*Saccobranchus*)

žábry 3,6

vzdušné vaky 1,6

pokožka 98,0

lezoun (*Anabas*)

žábry 10,0

nadžaberní dutina 0,21

labyrint 0,21

holub 0,1-1,4

vlaštovka 0,09

tuhýk 0,17

potkan 0,13-0,26

člověk 0,36-2,5

rejsek 0,27

Plicní difúzní kapacita O_2 (PDK $_{O_2}$; ml / min kPa kg)

keříčkovec (*Saccobranchus*)

žábry 0,024

vzdušný vak 0,029

pokožka 0,003

lezoun (*Anabas*)

žábry 0,007

nadžaberní dutina 0,054

labyrint 0,229

skokan (*Rana*)

0,027

varan (*Varanus*)

0,072

ještěr (*Tupinambis*)

0,049

želva (*Pseudemys*)

0,066

želva (*Testudo*)

0,114

slepice

0,580

vrabec

70

špaček

48

myš (aktivní)

7,5

rejsek (aktivní)

11,2

člověk (v klidu)

0,3

člověk (aktivní)

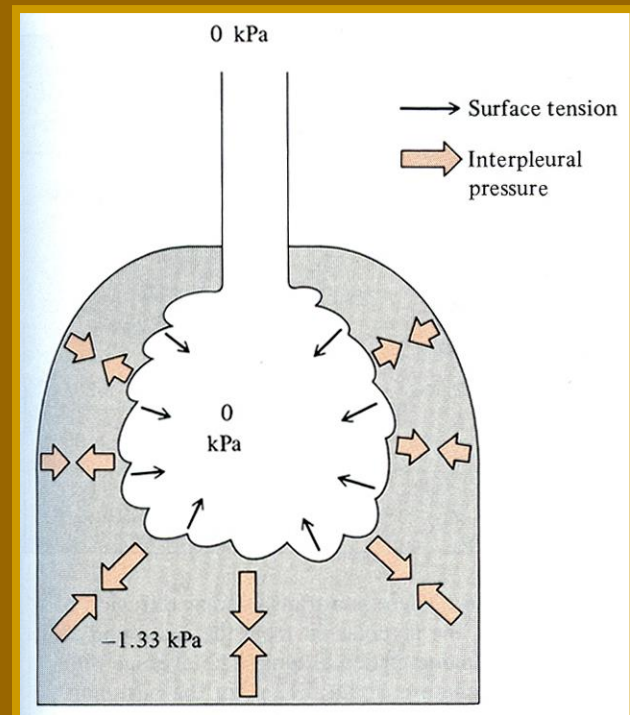
3,59

Stabilizace alveolů

- je potřeba vyrovnat tlak povrchového napětí vody ~> smáčedla / surfaktanty
 - dipalmityl-lecitin v kombinaci s proteiny

Povrchové napětí vody a různých povrchových filmů

	povrchové napětí (mN / m)
voda (0°C)	76,6
voda (20°C)	72,8
voda (40°C)	69,6
mýdlový roztok	25
10% butyl alkohol	26
povrchový film plynového měchýře karase	10-20
povrchový film plic kaprouna (<i>Amia</i>)	3,9
povrchový film plic bahníka (<i>Lepidosiren</i>)	1
povrchový film plic savců	1

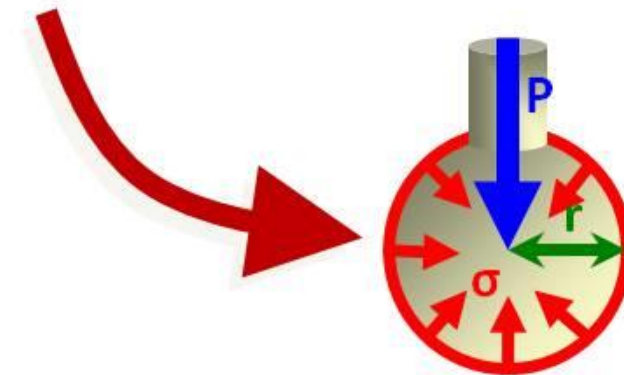
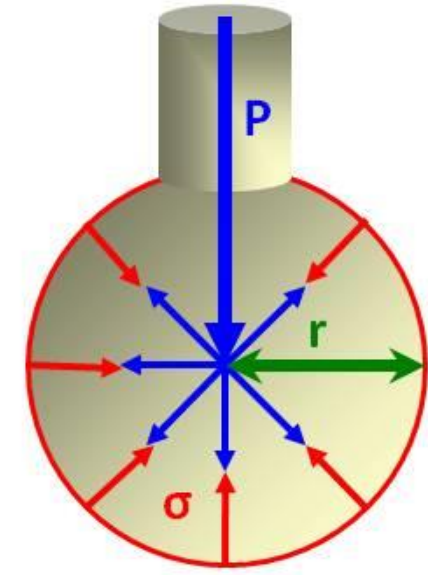


Povrchové napětí alveolů = 2/3 elastických sil plic

Laplaceův zákon $P = 2\sigma/r$

- P je distenzní tlak
- σ je povrchové napětí
- r je poloměr alveolu

P potřebný k udržení otevřených alveolů
se zvyšuje při $\uparrow \sigma$ a/nebo $\downarrow r$



Funkce surfaktantu

- **snižuje povrchové napětí alveolů**
 - zvyšuje poddajnost (complianci) plic
 - snižuje práci dýchacích svalů
 - zabraňuje kolapsu alveolů při výdechu
 - znesnadňuje vznik plicního otoku
- **antimikrobiální účinek**
 - obsahuje nespecifické opsoniny
 - aktivizuje alveolární makrofágy
 - mechanická bariéra adheze mikrobů v alveolech
 - usnadňuje mukociliární transport

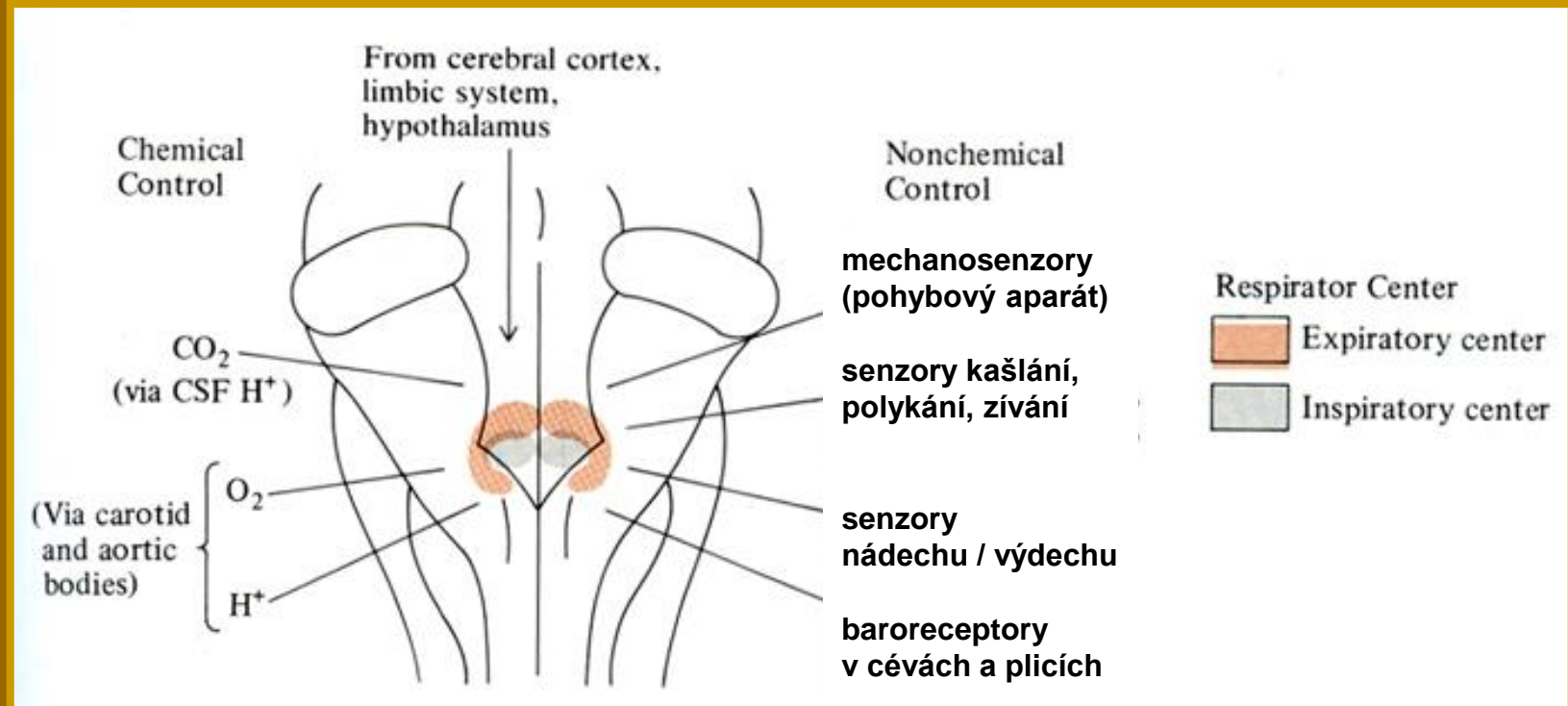
Řízení respirace

- **respirace ve vodě** – větší kapacita vody pro CO₂ než pro O₂
 - ~ parciální tlaky (p) CO₂ se mění jen málo

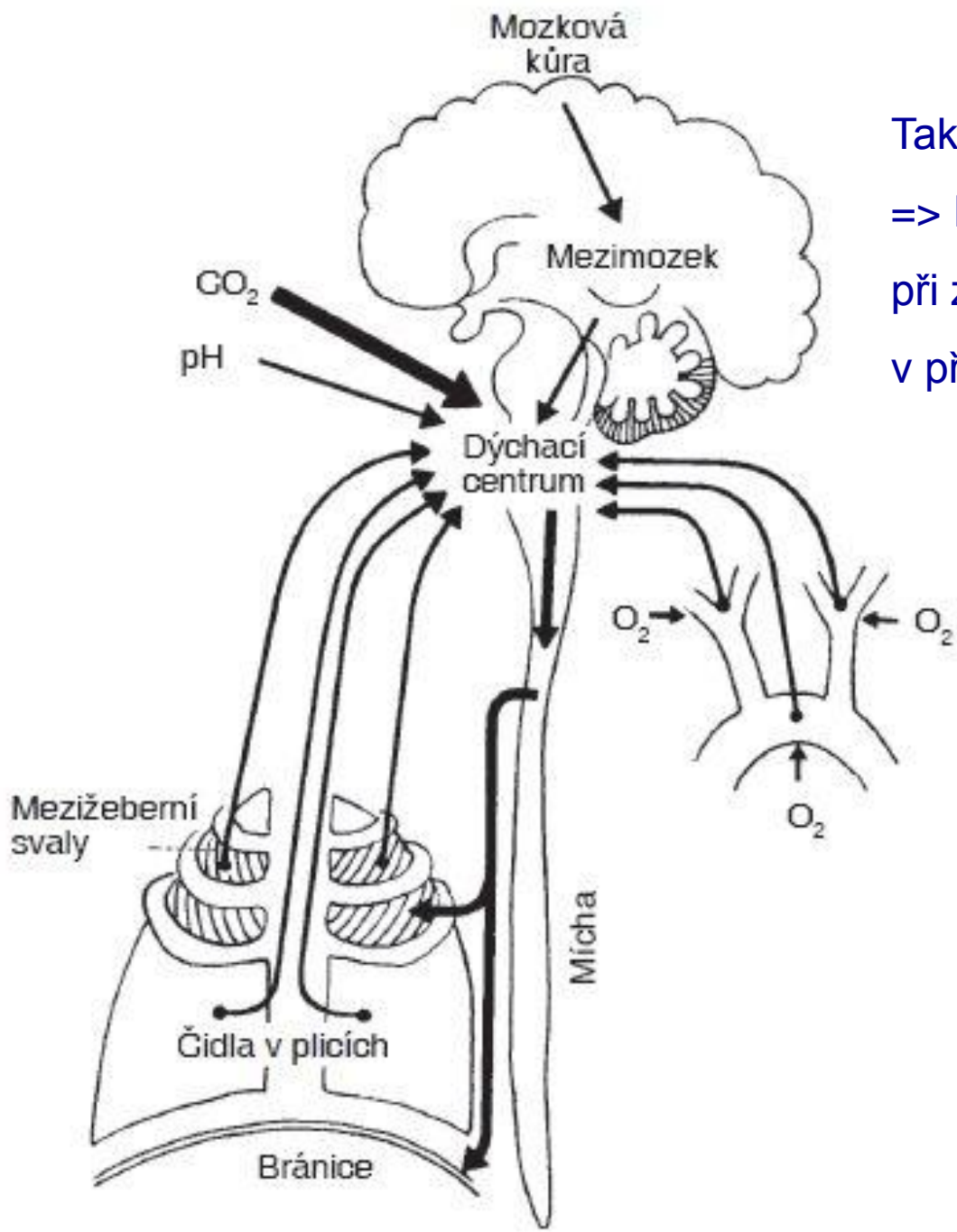
-> receptory sensitivní zejména na změny parciálních tlaků O₂
- **respirace na vzduchu** – stejná kapacita vzduchu pro CO₂ a O₂
 - ~ parciální tlaky se mění stejně
 - celkové množství O₂ v krvi (díky vazbě na hemoglobin) se přiměřeně nemění s poklesem pO₂ a s poklesem rozpuštěného O₂

-> receptory sensitivní zejména na změny parciálních tlaků CO₂
(- změna pH – K⁺ kanály citlivé k poklesu pH)

Schéma inspiračního a respiračního centra v prodloužené míše obratlovců



- křížová aktivace / inhibice mezi expir. a inspir. centrem
=> **základní dýchací rytmus**
- nadřazená centra Varolova mostu:
 - apneustické – stimuluje inspirační neurony
 - pneumotaxické – stimuluje expirační neurony
- kombinace aktivací center Varolova mostu a prodloužené míchy
=> **normální klidový respirační rytmus**



Také „anticipační zpětná vazba“

=> Proprioreceptory ve svalech a šlachách
při zvýšené námaze stimulují dýchaní
v předstihu před zvýšením CO_2

Recepce kyslíku (savci)

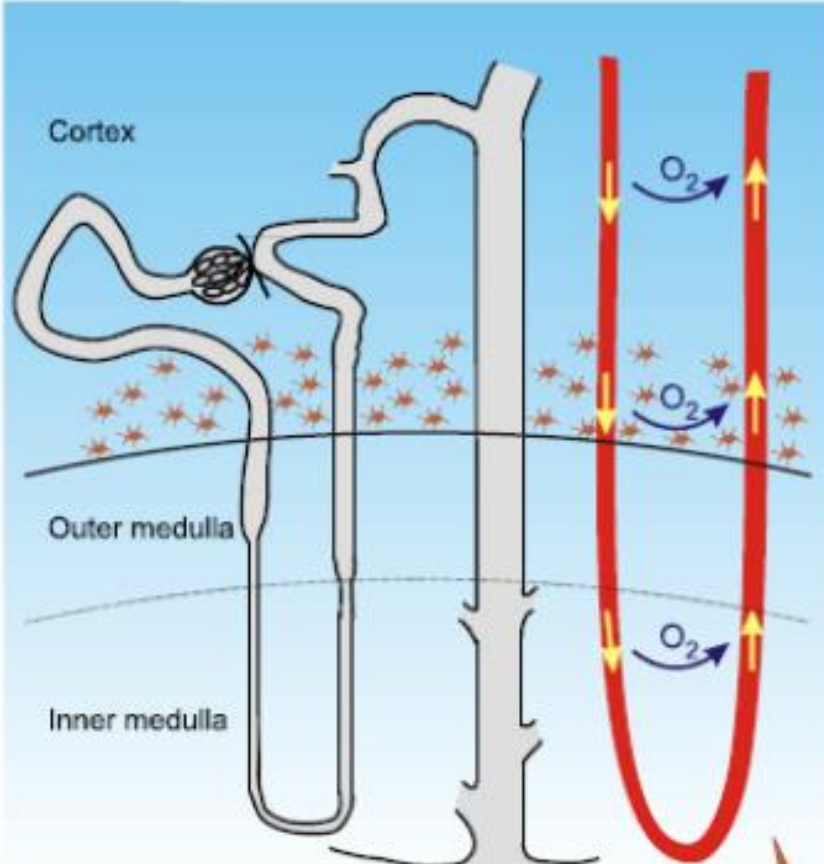
Tkáňová úroveň – přizpůsobené struktury se schopností výrazné odezvy na změny v koncentraci O₂

- **Karotické tělíska** – glomové buňky / buňky I. Typu (neurosekreční chemoreceptory, dopamin a acetylcholin – zvýšeno poklesem pO₂ v krvi)
 - průtok krve 1,5-2L /100g / min (mozek 120ml / 100g / min)
- **Plicní krevní oběh** – buňky hladké svaloviny plicních cév (vlastní mechanismus)
 - endotelie plicních cév (NO, prostacyklin – vasodilatace; endotelin, tromboxan A2 – vasokonstrikce)
- **Neuroepiteliální tělíska** (NEB) v lumen plicních cest (zejména neonatální) – produkce serotoninu, inervace bloudivým nervem
- **Plicní neuroepiteliální buňky** (PNEC) – roztroušené v celém plicním epitelu
NEB i PNEC s věkem mizí
- **Buňky dřeně nadledvin** (fetální a neonatální – produkce katecholaminů při hypoxii)

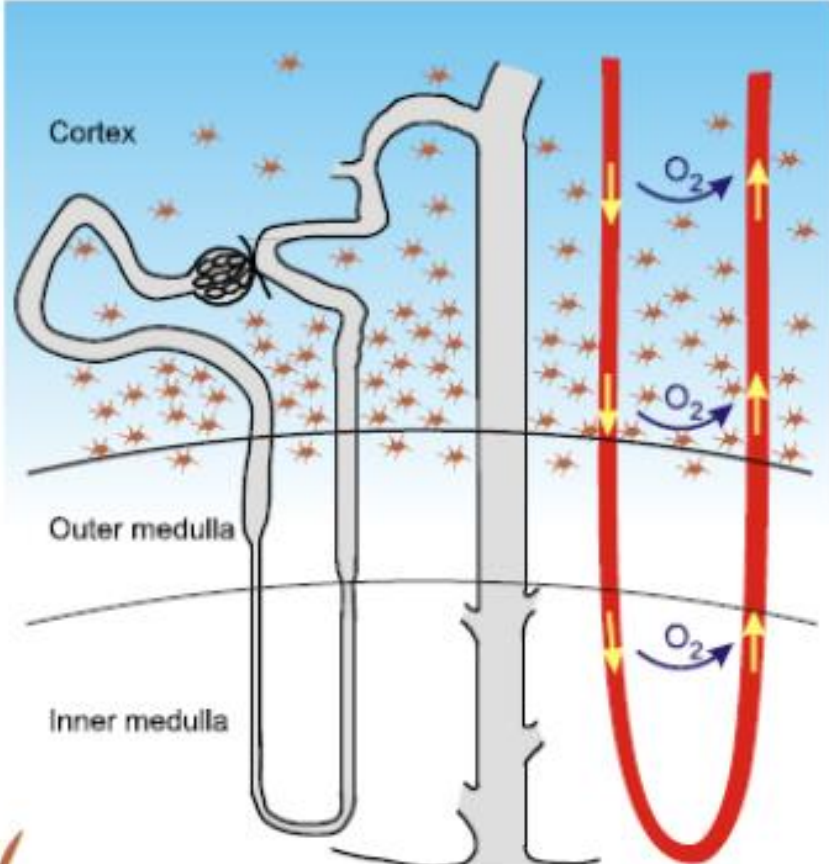
Ledviny – REPOS, buňky produkující erytropoietin (EPO)

=> regulace proliferace a zrání erytrocytů

Normoxia



Hypoxia



Renal Epo-producing and oxygen sensing (REPOS) cell

(Wenger a Hoogewijs, 2010)

Keratinocyty – hypoxie

(část O₂ získávají přímo!)

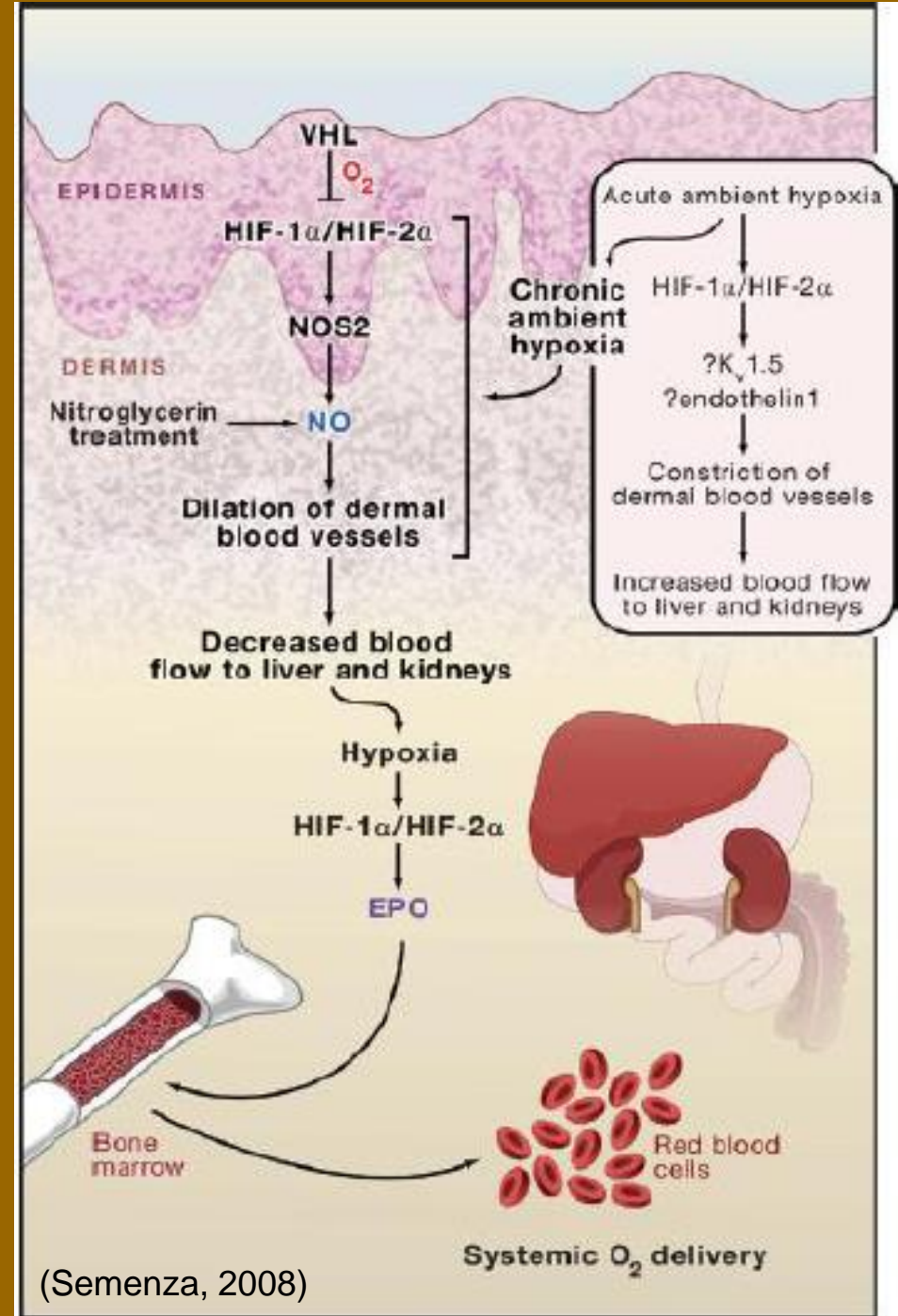
=> produkce NO = vasodilatace

=> produkce VEGF = angiogeneze



Prokrvení kůže

- pokles PO₂ v těle
- aktivace REPOS

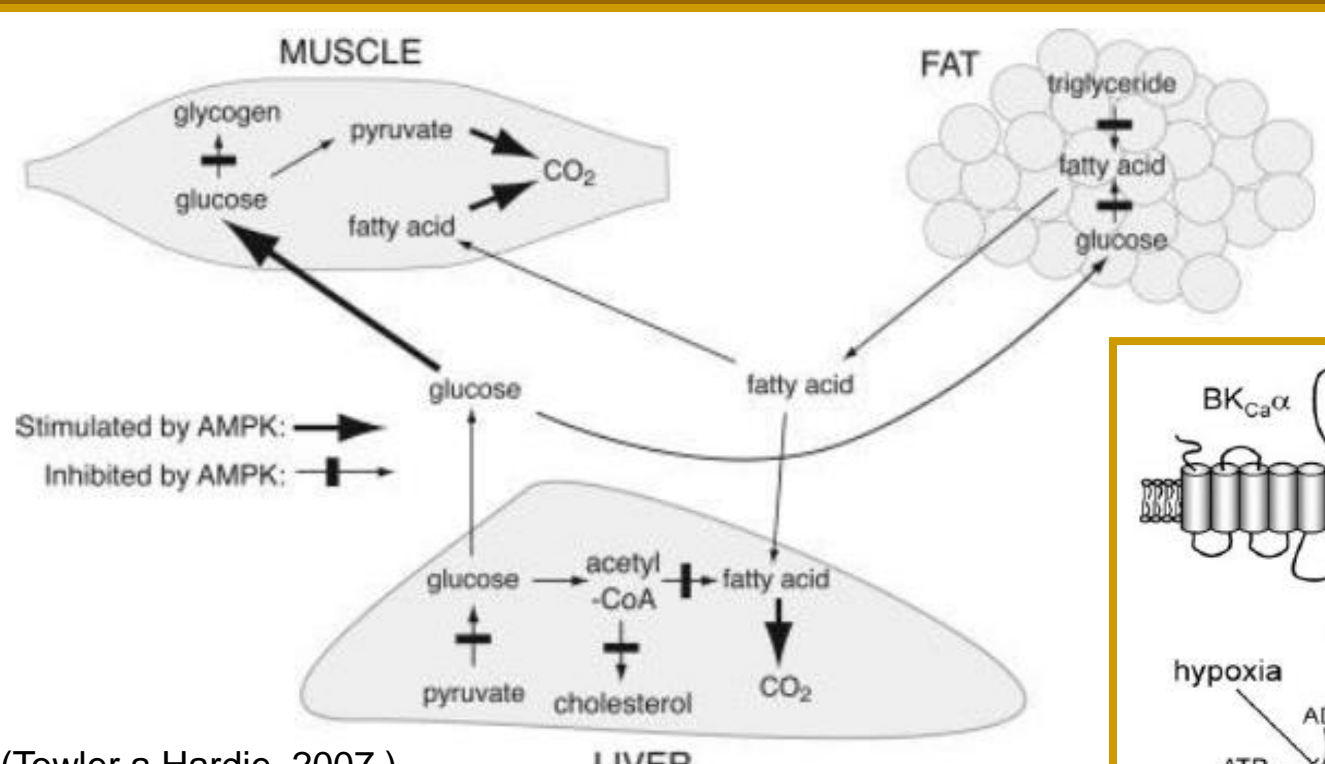


Buněčná úroveň – jednotlivé molekulární mechanismy citlivé ke změnám koncentrace O₂

Akutní hypoxie

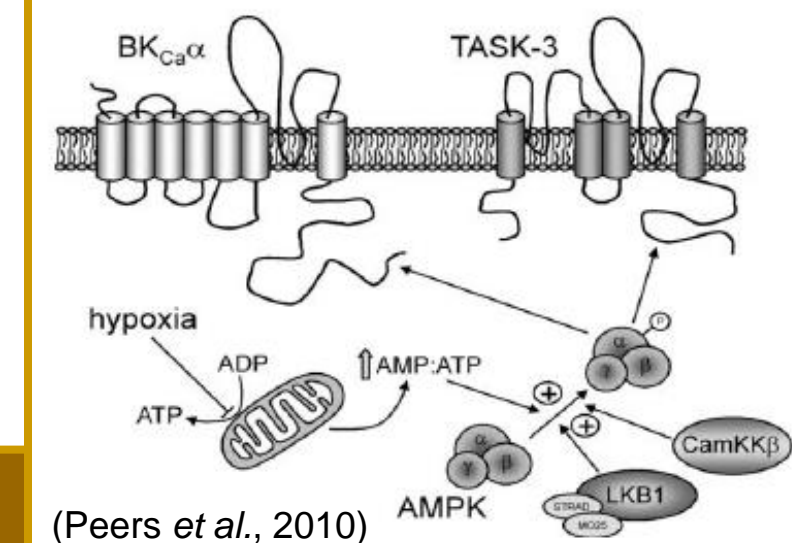
Bioenergetické sensory – klíčová úloha mitochondrií

- AMP (adenosin monofosfát) kinázy, energetický stav buňky
(citlivost na poměr AMP:ATP)



(Towler a Hardie, 2007)

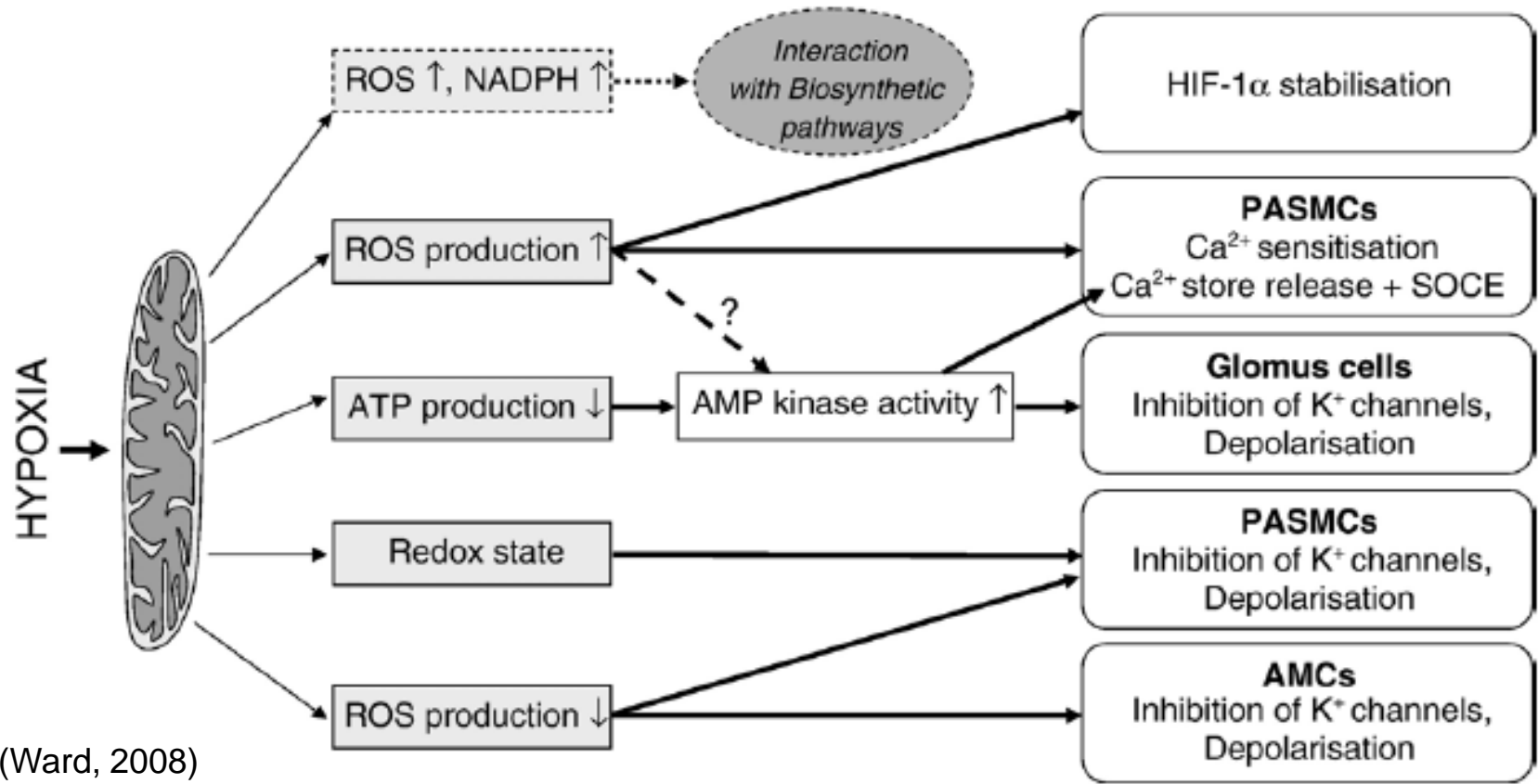
AMPK reguluje metabolismus i aktivitu iontovych kanalu



(Peers et al., 2010)

- ROS (reactive oxygen species), redoxní teorie

Proposed bioenergetic O₂ sensor mechanisms

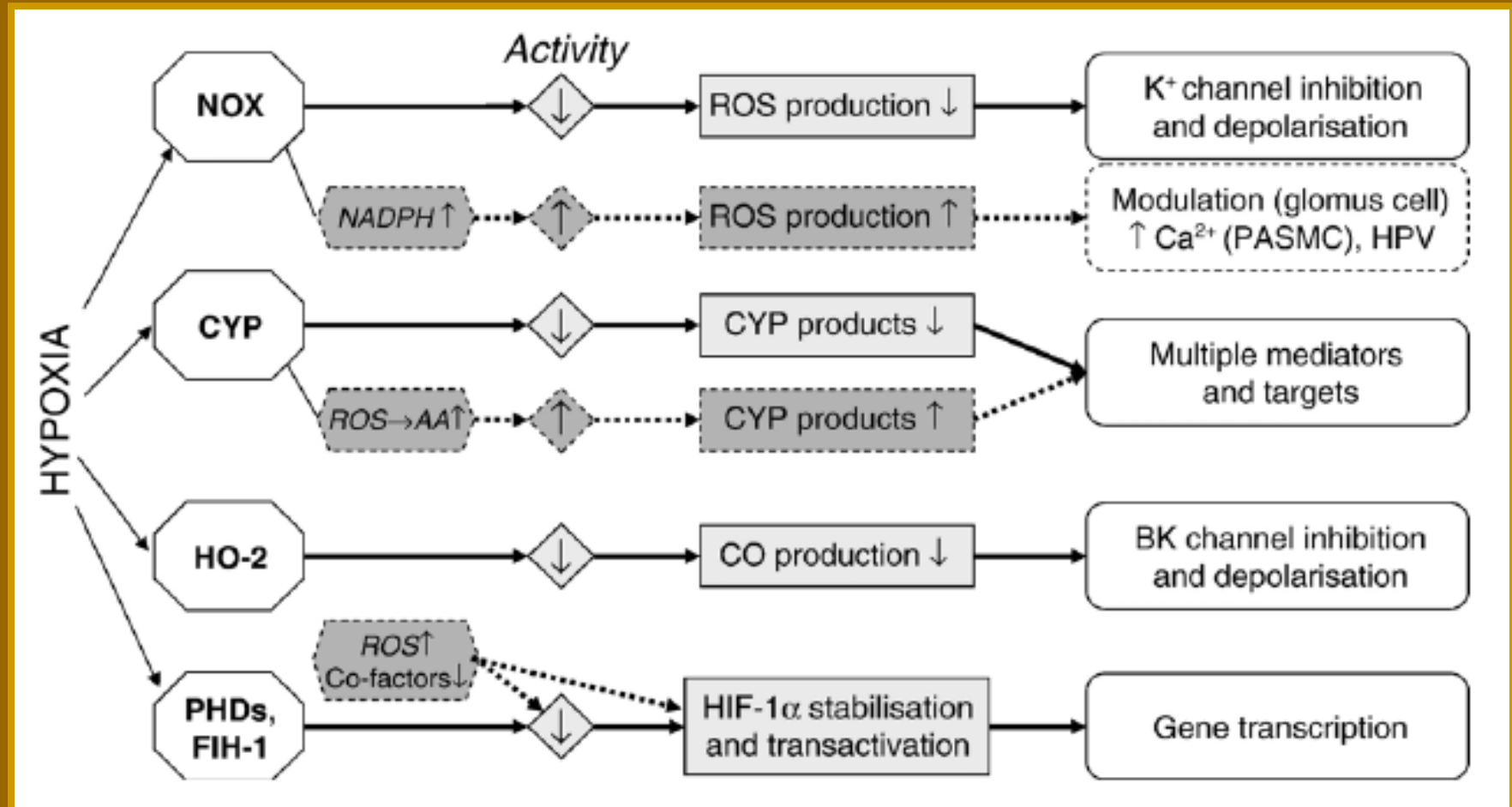


PASMCs - pulmonary arteries smooth muscle cells; buňky hladké svaloviny plícních cév

AMCs - adrenal medulla cells; buňky dřeně nadledvin

Biosyntetické sensory

- NADPH oxidásy
- Hem oxygenáza-2
- Cytochrom p-450 monooxygenásy



Chronická hypoxie

Sensorem jsme zejména prolyl-hydroxylásy => stabilizace / degradace hypoxií indukovaného faktoru (HIF)

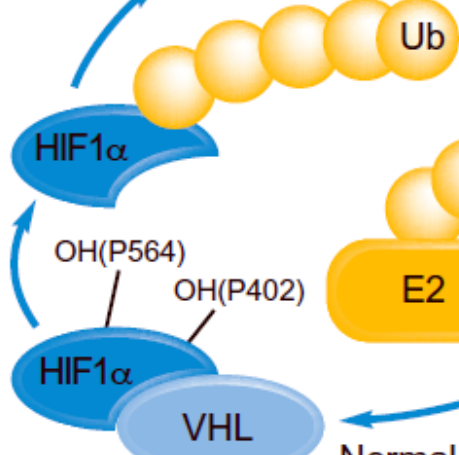
HIF – hypoxia inducible factor

- je součástí obecné odpovědi na hypoxii
- je konstitutivně exprimovaný
- přítomnost kyslíku indukuje jeho degradaci
- nedostatek kyslíku způsobuje jeho akumulaci

- indukuje buněčnou proliferaci
 - indukce cyklinu D1
 - indukce růstových faktorů
- indukuje angiogenezi -> VEGF
- indukuje erytropoézy -> EPO

HIF Regulation of Transcription

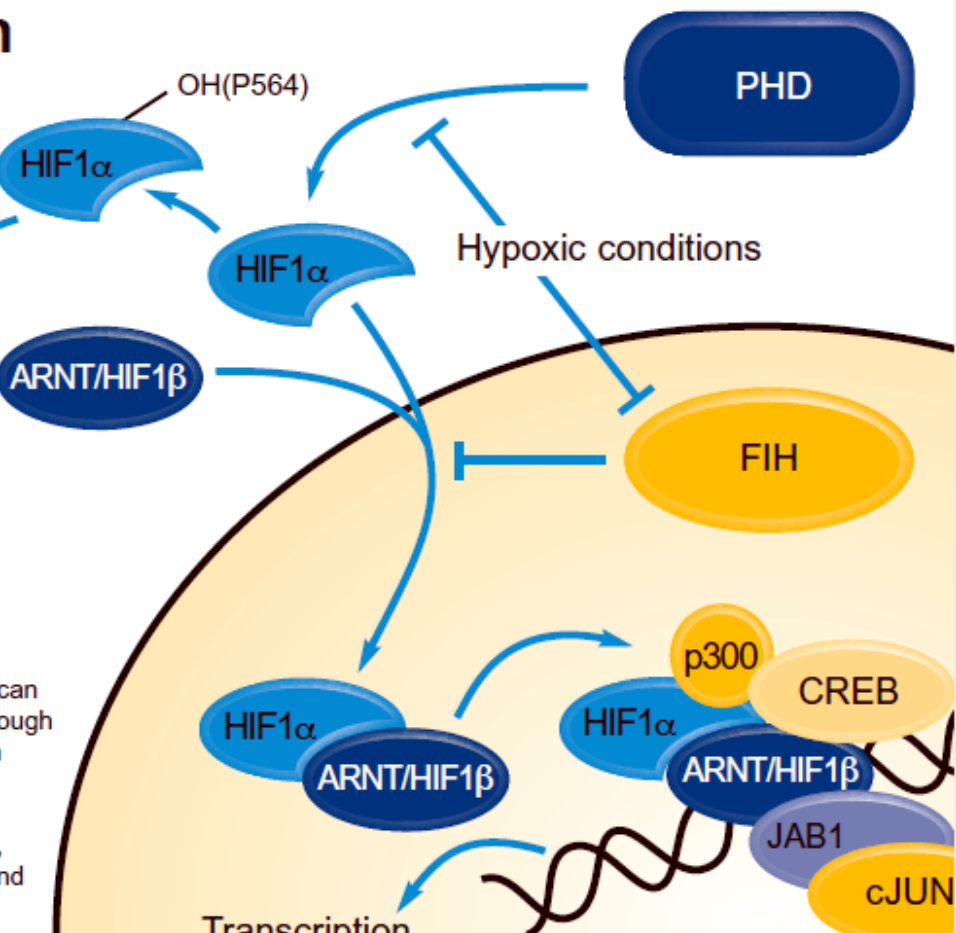
Proteasomal degradation



Normal oxygen conditions

Hypoxic conditions occur when the oxygen concentration falls below 5%. This can lead to several cellular and molecular changes, many of which are affected through the basic helix-loop-helix transcription factor HIF-1α. Three proteins have been identified in vertebrates that respond to hypoxic conditions: HIF-1α, HIF-2α and HIF-3α. Under normal oxygen conditions the HIF-1α protein is rapidly ubiquitinated and degraded. Under hypoxic conditions, the protein is stabilized, heterodimerizes with ARNT (aryl hydrocarbon receptor nuclear translocator), and translocates to the nucleus where it activates transcription from a number of hypoxia-responsive genes, including VEGF, EPO, PDGF-β, etc.

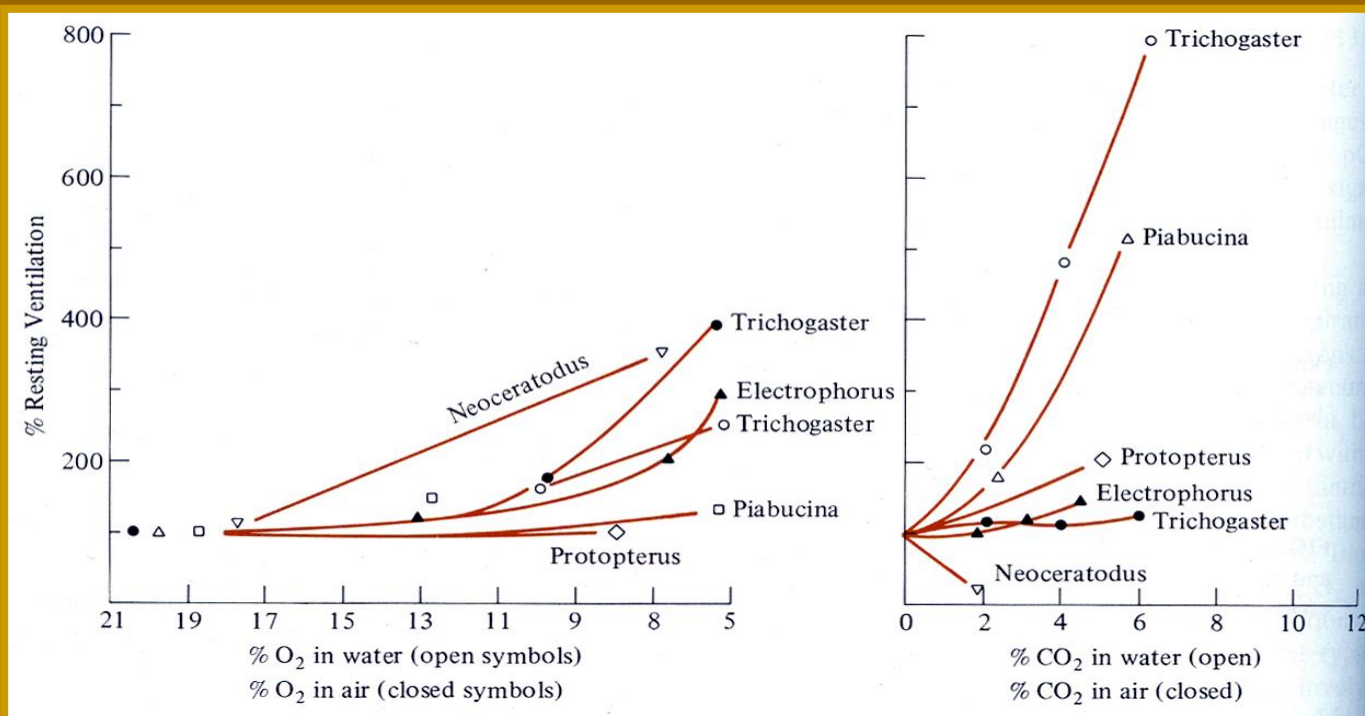
Transcription



Změny v koncentraci CO₂ a O₂ jako stimulant intenzity ventilace

Ryby

- intenzita ventilace v závislosti na koncentraci O₂ a CO₂ ve vzduchu a ve vodě
- senzitivita je druhově specifická a zdá se závislá na preferenci v zdroji O₂ (vzduch x voda)
 - u *Piabucina* hyperkapnie ve vodě vede k omezení žaberní ventilace
 - u *Neoceratodus* hypoxie ve vodě stimuluje žaberní ventilaci, hyperkapnie ve vodě potlačuje žaberní ventilaci a stimuluje vzdušné dýchání



Obojživelníci

- receptory v aortě citlivé k hypoxii i hyperkapnii (shoda se savci)
- zřejmě nemají CO₂ receptory v plicích (na rozdíl od plazů a ptáků, ale napěťové receptory v plicích jsou citlivé k pCO₂)
- podobně jako u vzduch dýchajících ryb je senzitivita k vodnímu / vzdušnému pCO₂ a O₂ druhově specifická a zdá se závislá na preferenci v zdroji O₂ (vzduch x voda)

Plazi

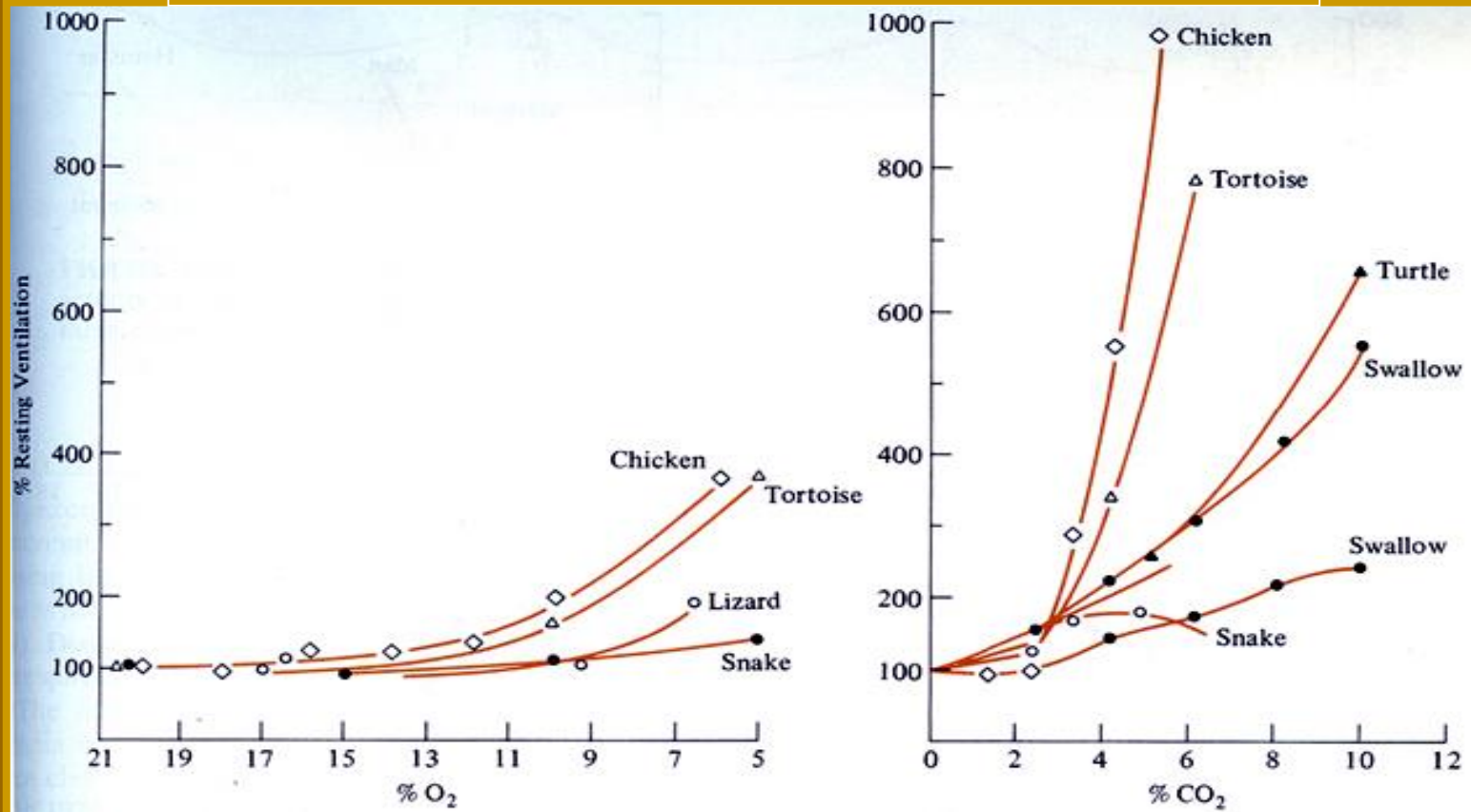
- pravděpodobně nemají chemoreceptory v aortě a krkavicích, ale mají CO₂ receptory v respiračním traktu
- u některých je ventilace regulována zejména pO₂ u jiných pCO₂
- hypoxie nebo hyperkapnie často vede k útlumu aktivity / metabolismu



Ptáci

- pro regulaci ventilaci je významnější hyperkapnie než hypoxie
- podobně jako u savců karotická a aortická tělska
- receptory v dýchacím traktu (parabronchi) citlivé jen na pCO_2
(při vysokém $pCO_2 > 6.7$ kPa snížení frekvence akčních potenciálů)

Intenzita ventilace v závislosti na koncentraci O_2 a CO_2 u plazů a ptáků



Savci

- primární regulátor respirace je změna pCO_2

- 2 základní typy receptorů

1) *karotická a aortická tělíska*

- pravděpodobně původem z žaberních receptorů,
- jsou citlivé na změny pCO_2 , pO_2 a pH

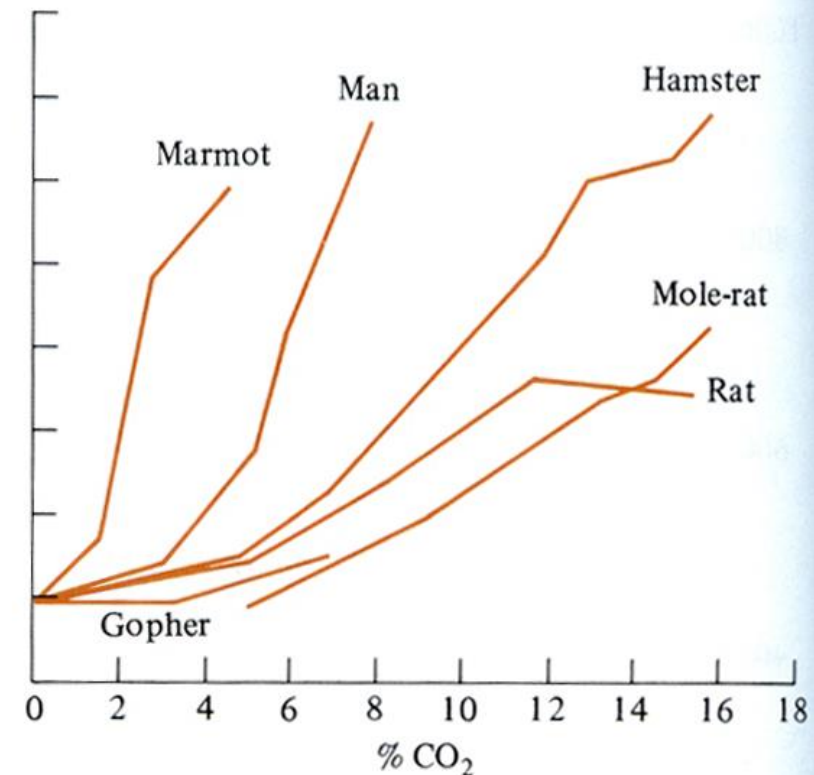
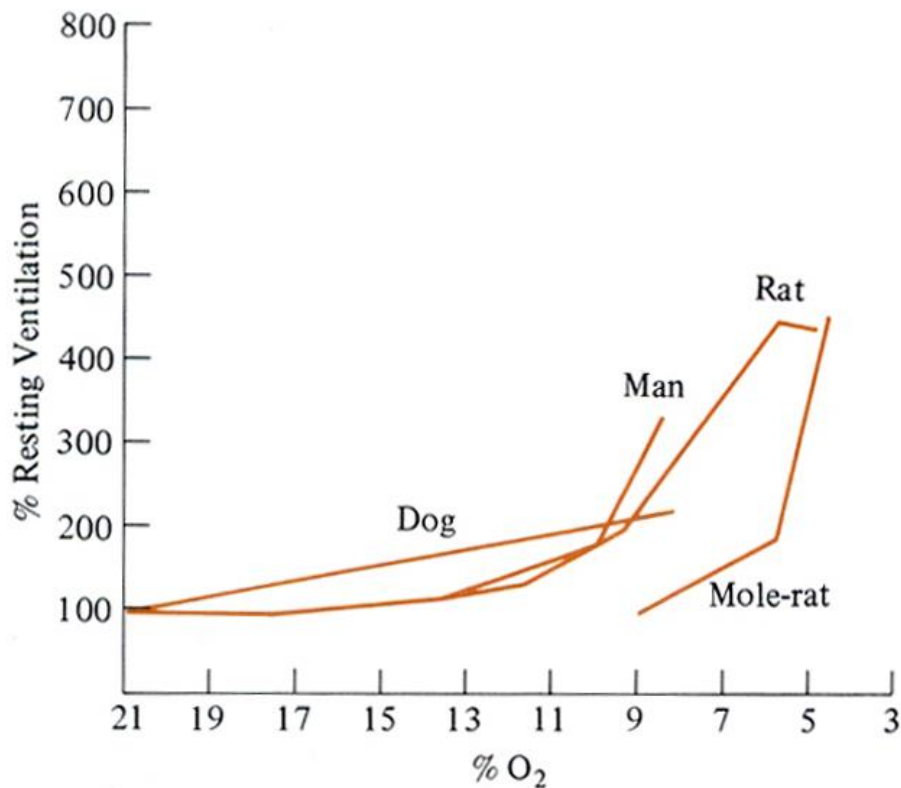
2) *centrální chemoreceptory* respiračního centra v prodloužené míše

- jsou citlivé na změnu koncentrace H^+ (pH) v mozkomíšním moku (CSF), jeho pH je přímo úměrné koncentraci CO_2 v krvi díky pronikání CO_2 mozko-krevní bariérou, která je nepropustná pro H^+

- citlivost k změně pCO_2 má adaptivní charakter ~ typicky u potápějících se nebo hrabavých druhů (běžně jsou vystaveni hypoxii a hyperkapnii)

=> citlivost na zvýšené množství CO_2 je snížena

Intenzita ventilace v závislosti na koncentraci O_2 a CO_2 u různých savců



Marmot – svišt'
Gopher – sysel
Mole-rat - rypoš



Potápění

- zadržení dechu ~ zástava ventilace
- hydrostatický tlak ovlivuje výměnu plynů
 - více O₂ a N₂ se ze vzduchu v plicích dostane do tělních tekutin
 - nebezpečí jejich rychlého uvolnění – Caissonova nemoc
 - vysoký pO₂ – toxicita a křeče
 - vysoký pN₂ - narkotizace
- hluboko se potápějící savci -> potopení s výdechem, kolaps alveolů
 - => plyn jen v mrtvém prostoru plic (~nevstřebává se)
 - => tužší/pevnější plíce -> snadnější roztažení alveolů
- mořští hadi a mořské želvy
 - pravděpodobně snížena citlivost k toxickému působení O₂ a narkotizaci N₂
 - nadbytečný N₂ uvolňují kůží do prostředí
 - krev vracející se z těla do srdce vynechá plíce (bypass – neoddělený plicní oběh)

Proporční zastoupení O₂, N₂ a CO₂ v organismu v závislosti na hloubce u potápěče s přístrojem

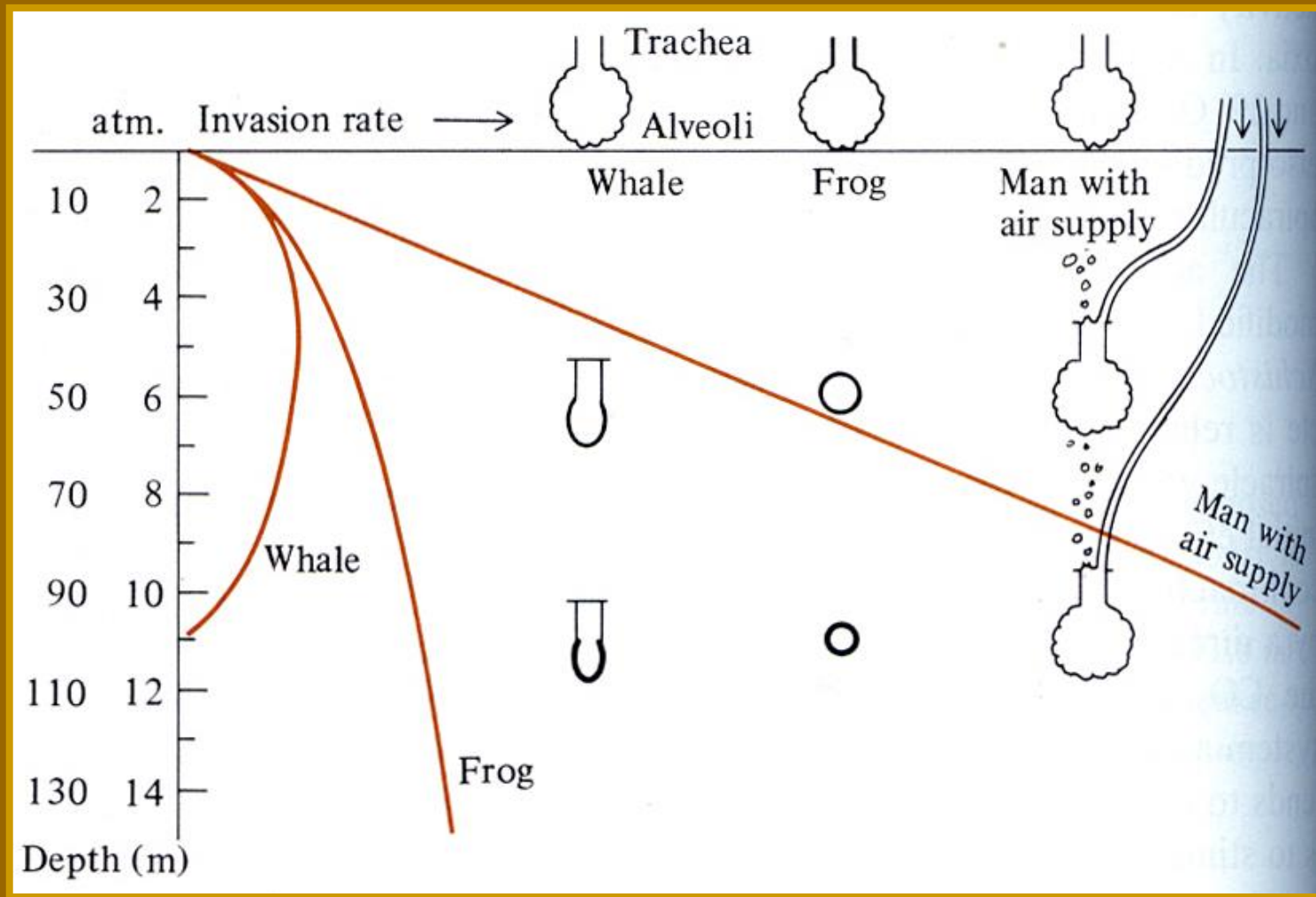
hloubka (m)	0	50	100	500
vnější tlak (kPa)	101	202	1111	5151
pO₂ (kPa)	21,1	42,4	233,5	1082,6
pN₂ (kPa)	79,8	159,7	878,3	4072,5
alveolární pCO₂ (kPa)	5,32	5,32	5,32	5,35
O₂ v plasmě (ml/l)	4,4	8,8	48,3	223,9
N₂ v tucích (ml/l)	53	106	582	2700

rozpustnost O₂ v plasmě – 0,209 ml / l kPa

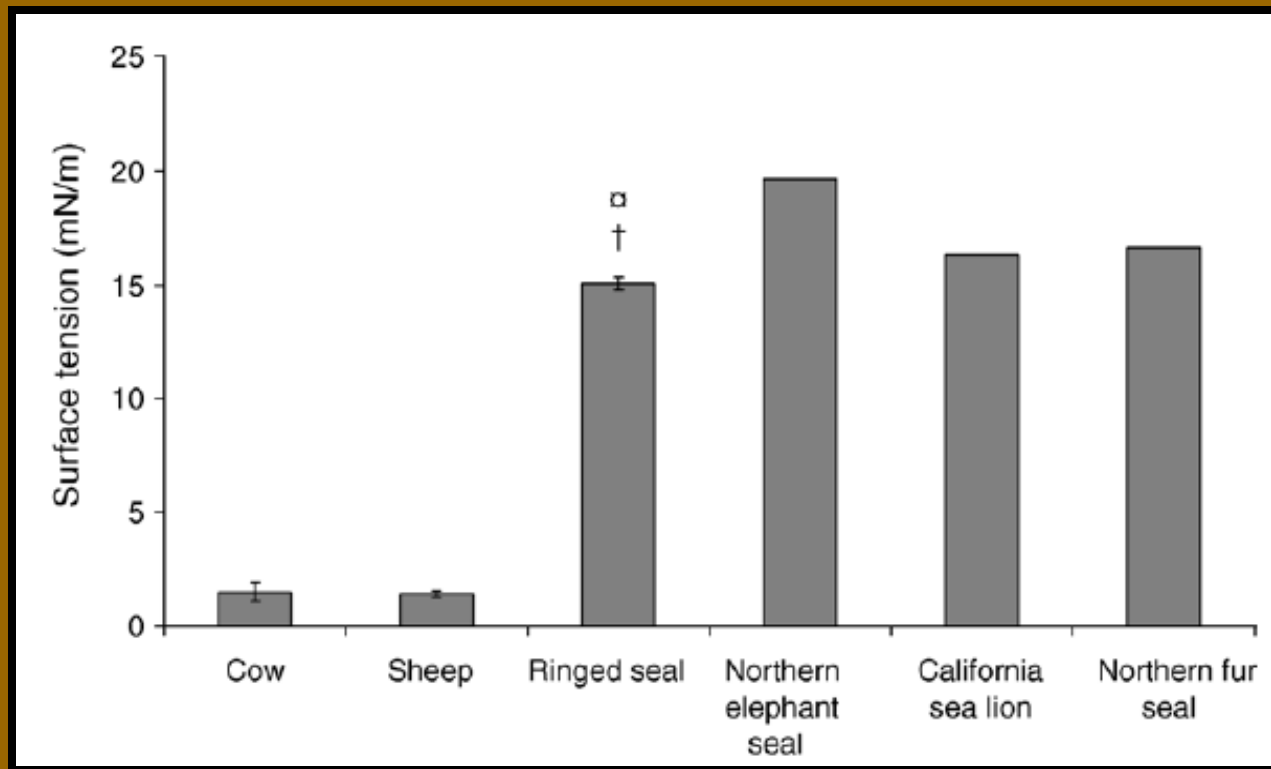
rozpustnost N₂ v tucích – 0,67 ml / l kPa



Invazní obrat N₂ (invasion rate) u velryby a žáby (organismy s kolapsem alveolů / plic)
a potápěče s přístrojem v závislosti na hloubce ponoření



- * Plíce ploutvonožců jsou pevnější než plíce suchozemských savců.
- * Surfaktanty v plicích ploutvonožců nesnižují povrchové napětí tak efektivně, jako u suchozemských, brání hlavně slepení plicní tkáně při ponoření.



Adaptace výhodné pro potápění u savců

Větší transportní kapacita krve pro O₂

- běžně: 17–22 % (ale i delfíni a lachtani)
- tuleňi: obecný 26-29%, Weddellův 29-36%, pruhovaný 34%
- vorvaň malý: 32%

Větší celkový objem krve

- běžně: 60-110 ml / kg
- tuleňi obecný a pruhovaný 130-140 ml / kg
- tuleň Weddellův, rypouš severní, vorvaň obrovský: 200-220 ml / kg

⇒ Zásoby kyslíku

- člověk, kůň – 14-15 ml / kg
- tuleni – 40-70 ml / kg

Větší množství svalového myoglobinu (kosterní svaly)

- člověk, kůň – 4-9 mg / g
- tuleň obecný, Weddellův, rypouš severní – 50-55 mg / g
- tuleň pruhovaný, plískavice saravacká – 70-80 mg / g

Plískavice saravacká
-500m



Tuleň weddellův
-500m, 1h



Oběhový systém

- zejména u potápějících se „bradykardie“ na 5-20%
(vazokonstrikce koronárních arterií, nižší nároky na srdce)
- celkově omezený krevní průtok – řízeno sympatikem (vasokonstrikce)
- proudění krve zejména do mozku > kosterních svalů > gastrointesticiálních orgánů
=> tkáně se rozdělují na aerobně a anaerobně metabolizující (obrat ATP x laktátu)

Aerobní limit potápění (ADL, aerobic dive limit)

- Na jak dlouho se může organismus potopit bez následného „kyslíkového dluhu“
- Vázano na limity pro metabolismus laktátu

tuleň Weddellův – 20 minut

lachtan medvědí a ušatý – 4-6 minut

delfín skákavý - 4 minut

rypouš sloní, vorvaň – 40-50 minut



Důsledky ADL pro tuleně Weddellova

potopení 6 x 15 minut, 4 minuty na hladině mezi ponory

– total **114** minut, **90 minut pod vodou**

potopení 44 minut, 70 minut na hladině

– total **114** minut, **44 minut pod vodou = ½ času**

Velké nadmořské výšky

- pokles barometrického tlaku – pokles parciálních tlaků
(poměrové zastoupení jednotlivých plynů se ale nemění)
 - > zvyšuje se dehydratační stres
- (- klesá teplota)
- primárně hyperventilace
 - maximální možný přísun O_2 , alveolární pO_2 se ale nemění
 - klesá alveolární pCO_2 (normálně je pCO_2 závislé na produkci CO_2 a alveolární ventilaci)
 - => pokles alveolárního CO_2 = pokles krevního CO_2 = inhibice respirace
 - tento efekt je vyrovnáván metabolickou acidósou
 - => zvýšení H^+ (pokles pH) v CSF = stimulace ventilace



Účinek nadmořské výšky na atmosférický tlak (AP), pO_2 a alveolární (a) pO_2 a pCO_2 u člověka (kPa)

výška(m)	AP	pO_2	p_aO_2	p_aCO_2
0	101	21,1	13,8	5,3
3100	70,6	14,6	8,9	4,8
6200	46	9,7	5,3	3,2
7100	normální strop			
8848	33	6,9	4,0	1,5
9200	30	6,3	2,8	-
12300	19	3,9	1,1	-
14460	strop s doplnováním čistého O_2			
15400	12	2,4	0,1	-
20000	6	1,3	0	0

- Ve 20 km je vnější tlak vodních par vyrovnaný se saturacním tlakem vodních par v plicích
=> v plicích není místo pro O_2 , N_2 , CO_2
- "Nad 20 km, začne na povrchu plic voda vařit

Výškové limity obratlovců

výška (km) lokalita

obojživelníci

<i>Salamandra</i>	3	Alpy
<i>Telmatobius</i>	3,8	Peru (Titicaca)
<i>Eleutherodactylus</i>	4,5	Peru (Andy)
<i>Bufo</i>	5	Himaláje

ryby

pstruh	2,8	Alpy
pstruh	3,8	Peru (Titicaca)
<i>Nemachilus</i>	4,7	Himaláje

plazi

africký scink	4	Tanzanie (Kilimanjaro)
<i>Dipsosaurus dorsalis</i>	4,9	Peru (Andy)
ještěrky	5,5	Himaláje

ptáci

domácí drůběž	4	Asie, Amerika
různé druhy	4-6,5	Skalisté hory, Andy
sup	5-6	Himaláje
bernešky	6(-7)	Himaláje

savci

křečík	4	USA (Skalisté hory)
lidé	<4,5	Andy, Himaláje
lamy	4,8-5,4	Peru (Andy)
činčila	5	Peru (Andy)
Jak	5,8	Asie
jelen Taruca	6	Peru (Andy)

Některé aspekty (relativního?) nedostatku kyslíku u člověka

Choroby + vysoké nadmořské výšky

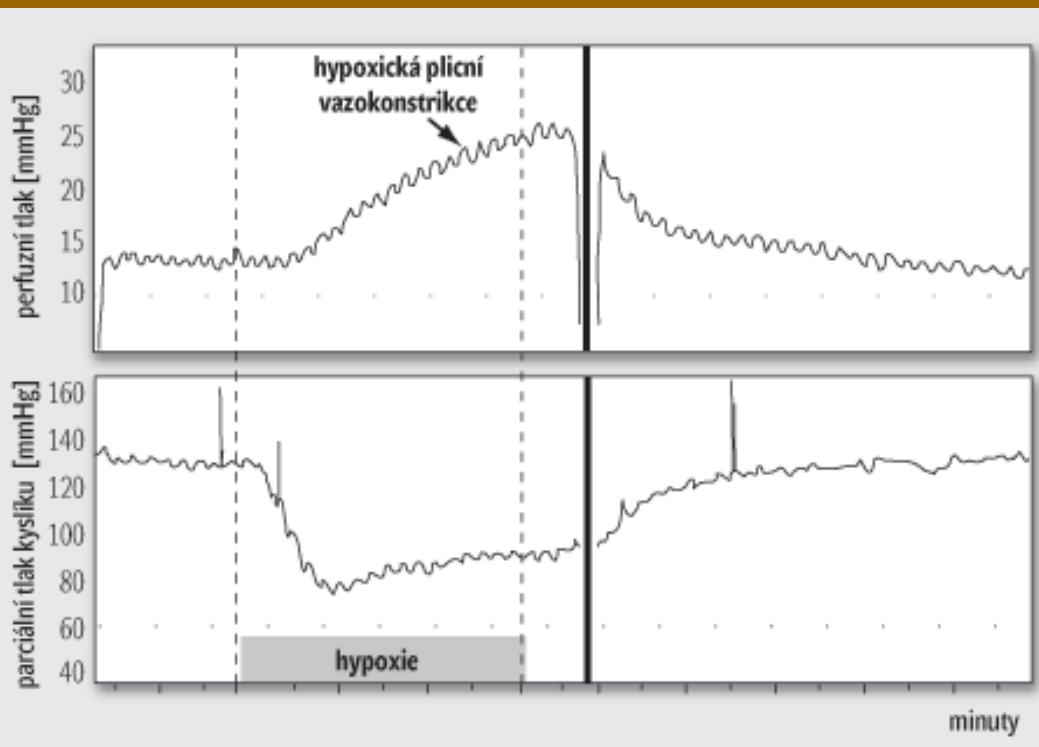
Plíce – velice tenké hranice mezi krví a ovzduším (difuzní vzdálenost)

Normoxické oblasti – volný průtok krve, 1/10 krevního tlaku aorty

Hypoxické oblasti – vazokonstrikce cév => zvýšení krevního tlaku

(lokální plicní hypoxie, hypoxická plicní vazokonstrikce, typické pro plíce a placentu,

mechanismem je pravděpodobně vtok Ca^{2+} iontu do svalových buněk plicní cévy v odpověď na depolarizaci vyvolanou změnou aktivity K^+ kanálů v buněčné membráně)



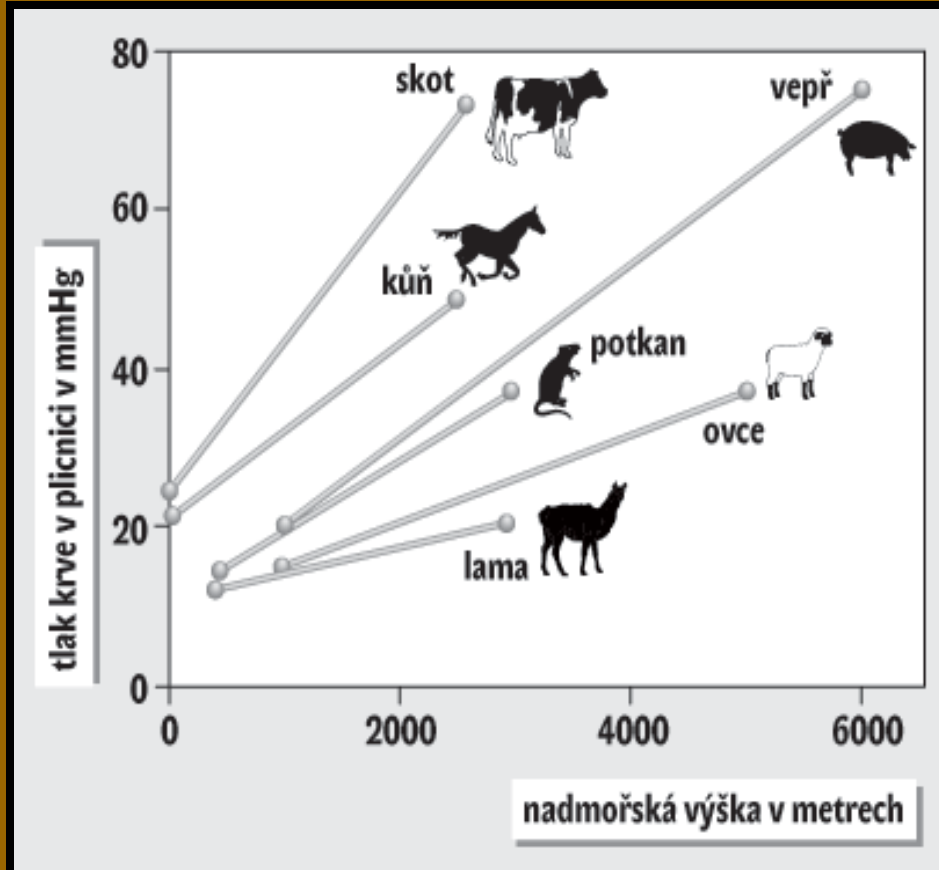
Nedostatek kyslíku v plicích

-> zvýšení krevního tlaku v plicích (plicnici)

(globální plicní hypoxie, dlouhodobě => hypoxická plicní hypertenze)

-> hypertrofie pravé srdeční komory

-> selhání srdce



- význam této adaptace není jasný
- změna tlaku v plicnici stejná u bělochů, tibetanů i andských indiánů
- u ostatních savců různé schopnosti
- limity ???

normoxie – dostatečné množství kyslíku

hypoxie – snížené množství kyslíku → specifická reakce

anoxie – bez kyslíku → specifická reakce

Hypoxická plicní hypertenze

Při poruše adaptace nebo nedostatečné adaptaci

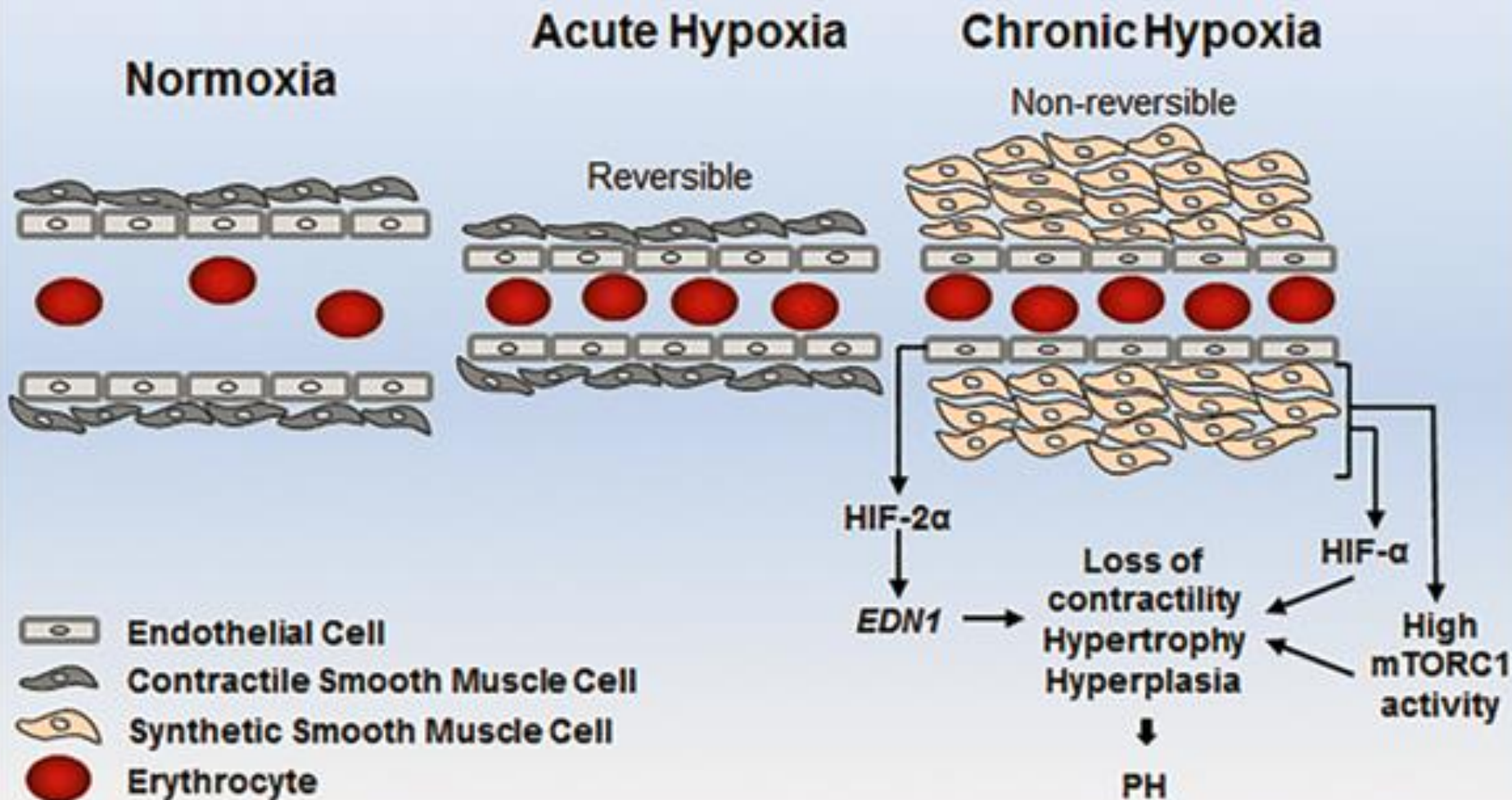
- "horská nemoc", otoky plic a mozku
- přestavba struktury stěn plicních cév, jejich poškození
- v důsledku hypoxie
 - > produkce kyslíkových radikálů a NO*)
 - > poškození buněk
 - > změna programu syntézy ECM, obalení cév pojivovou sítí
 - > podpora růstu buněk hladkého svalu, zesílení svalové vrstvy

Reverze po adaptaci
nebo při návratu do normoxie
(reverze trvá měsíce)

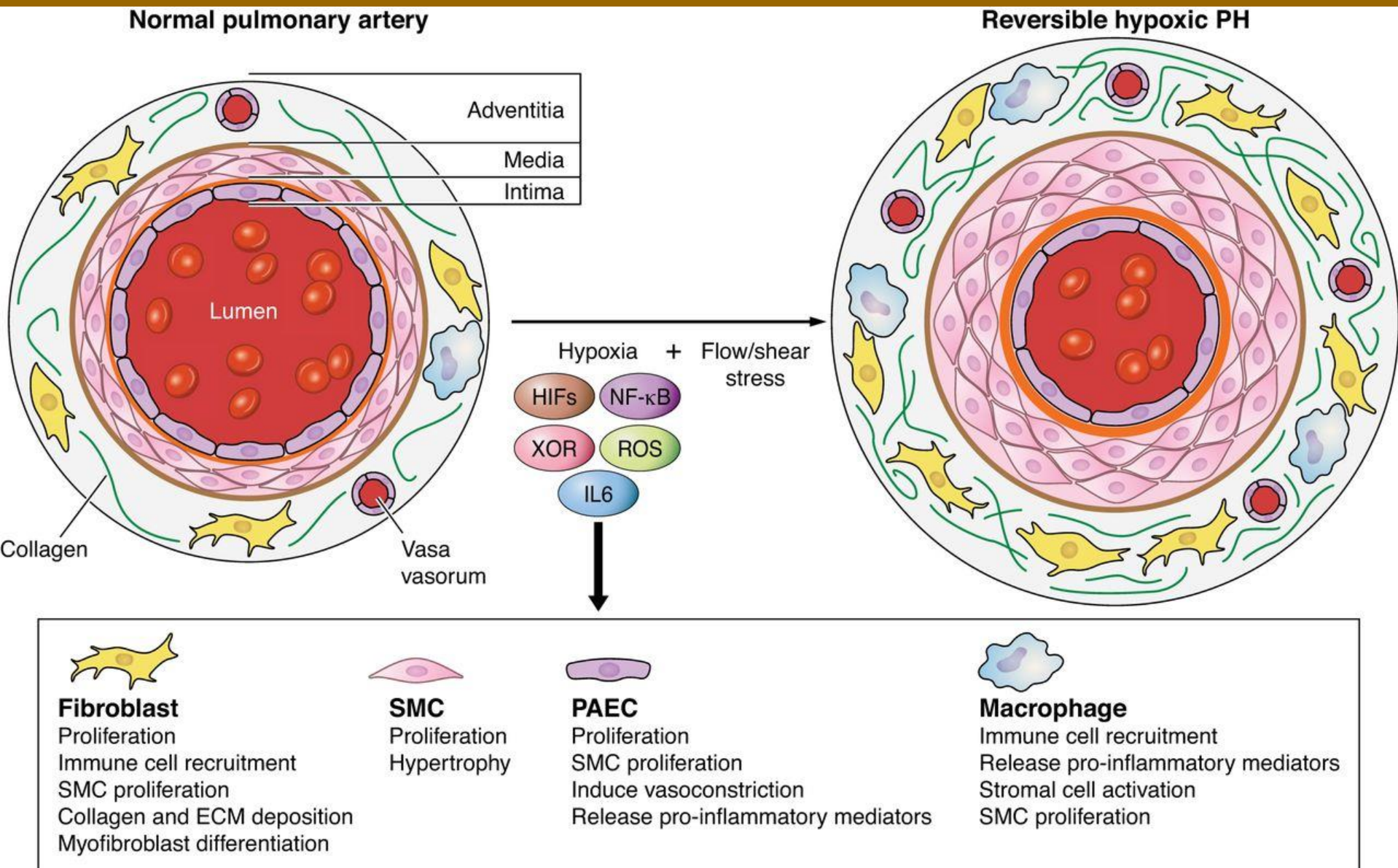
*)NO má vazodilatační schopnosti!



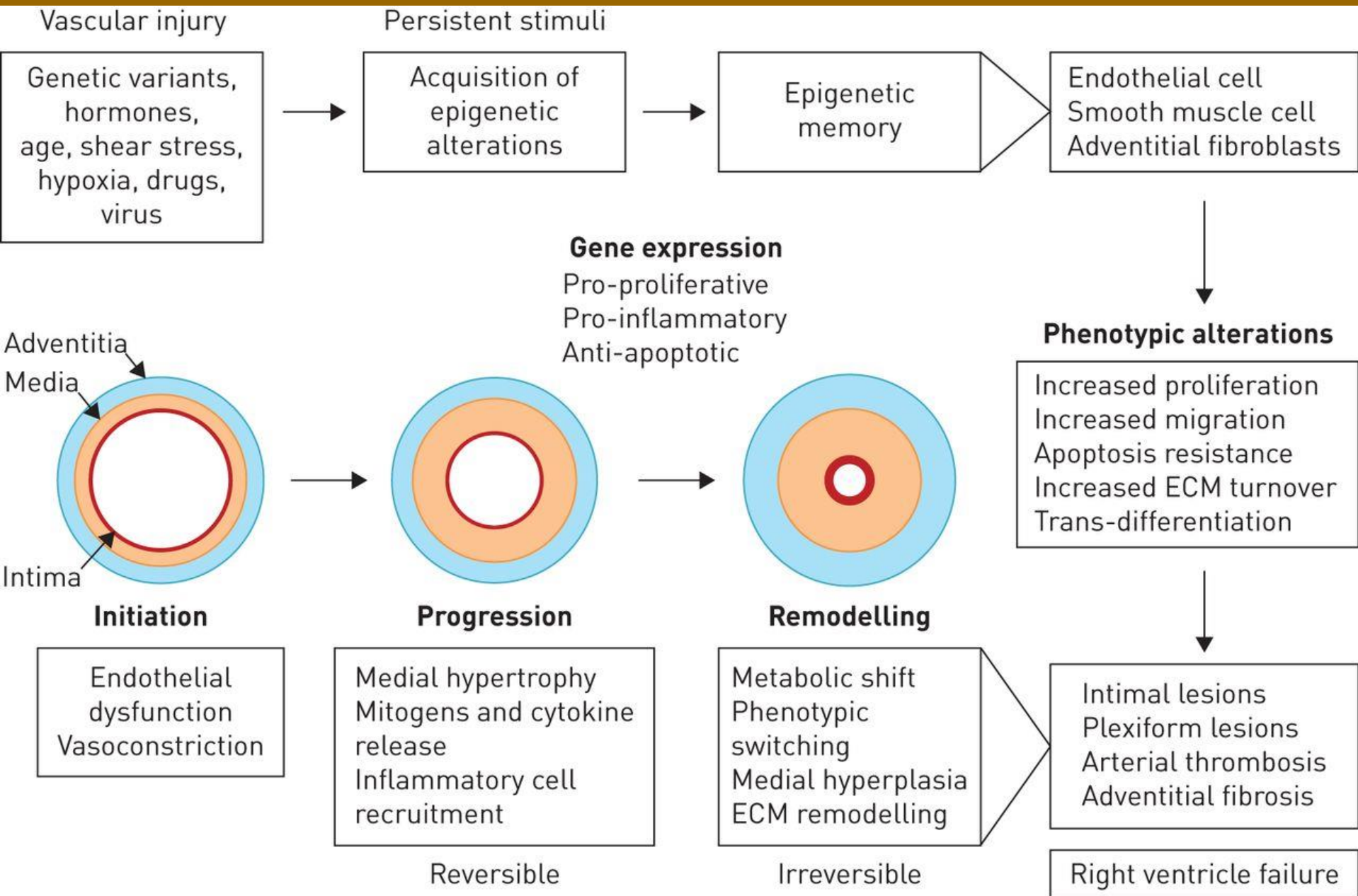
Hypoxická plicní hypertenze



Hypoxická plicní hypertenze



Hypoxická plicní hypertenze



Vývojová x fyziologická adaptace

Andští indiáni – 3500-4000 m.n.m.; 6 000 let

Tibetáni – 4000-5500 m.n.m; 25 000-50 000 let



Andští indiání x běloši z nížin

- více hemoglobinu
- větší dechové objemy
- větší tlak krve v plicnici
- potlačená reakce na nízký parciální tlak kyslíku

Tibetánská x běloši z nížin

- srovnatelné koncentrace hemoglobinu
- nemají potlačenou reakci na nízký parciální tlak kyslíku
- srovnatelný tlak krve v plicnici
- koncentrace hemoglobinu a kyslíku je nižší než u adaptovaných lidí
- větší přítok krve do placenty (v menší míře pozorováno i u andských indiánů)
- lepší genová výbava, viz. dále

Srdce

- embryonální a novorozenecké srdce je odolnější k hypoxii -> minimum infarktů (dodávka kyslíku jak v 8 000 m.n.m.)
 - podobně u obyvatel trvale žijících nad 3 500 m.n.m.
 - embryonální srdce také více odolné k poklesu pH a k poklesu Ca^{2+}
 - **exprese jiných izoforem některých proteinů**, např. myozinu, metabolických transportérů a enzymů
 - **efekt tzv. FETAL GENE PROGRAM SWITCH**
- ektotermové mají odolnější srdce k hypoxii jak endotermové

Zdá se, že jednou z klíčových rolí hrají mitochondrie - mohutný redox-oxidační aparát

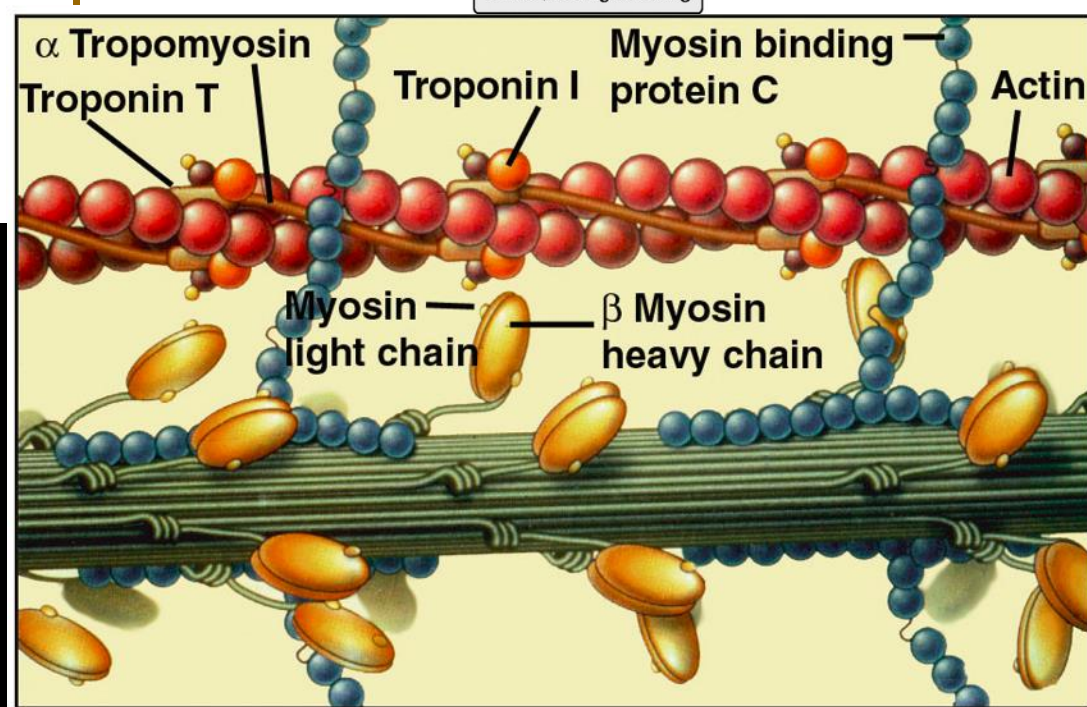
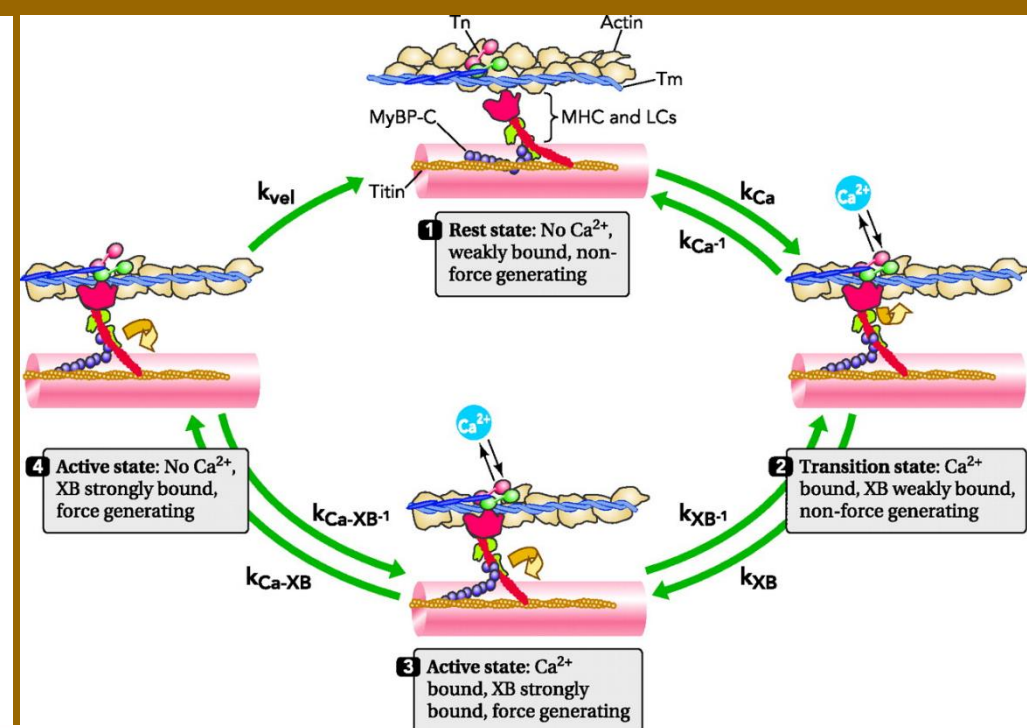
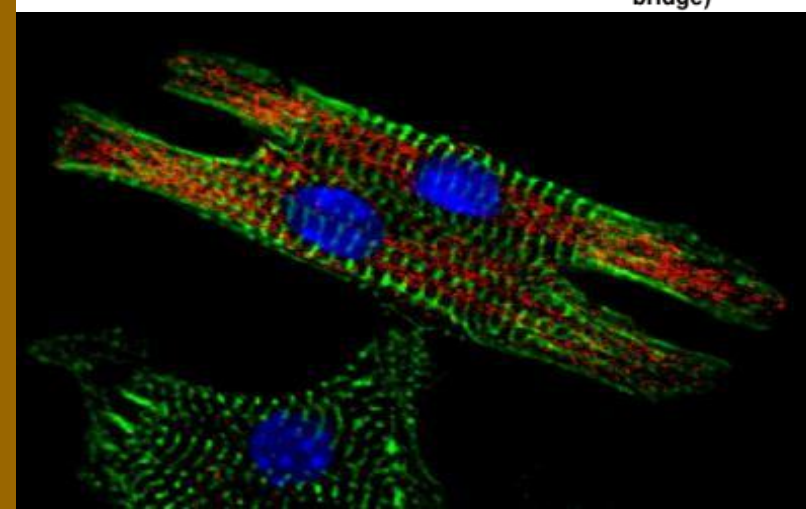
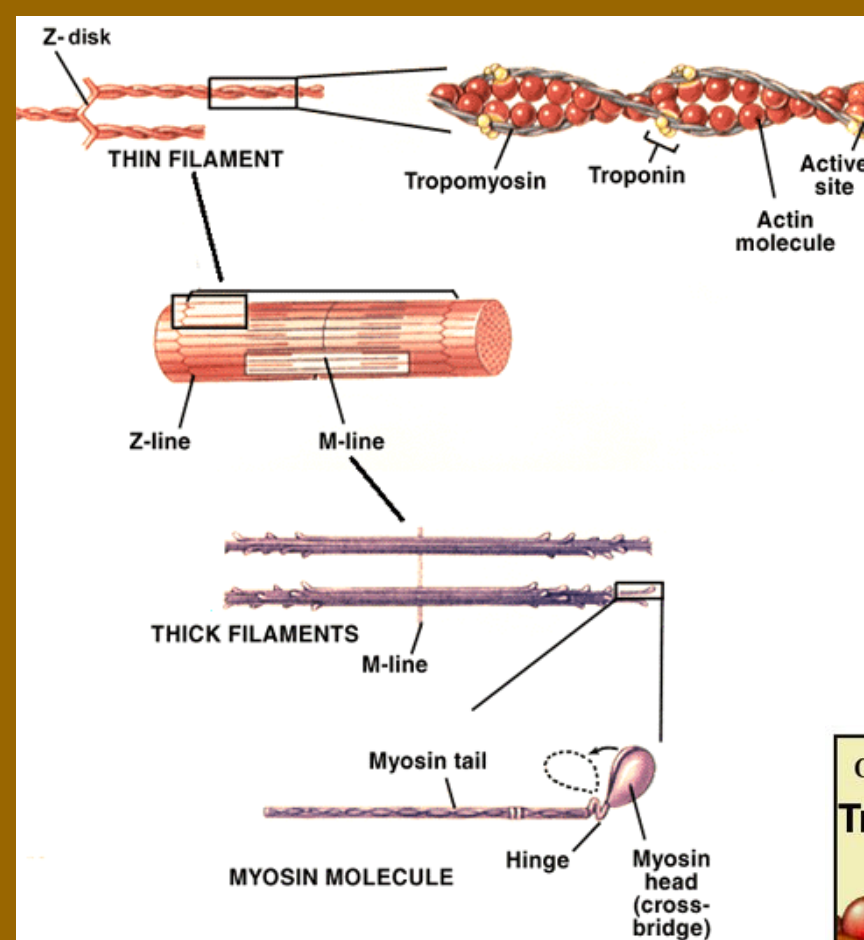
- embryonální srdce jednoduché mitochondrie
 - velký podíl anaerobní glykolýzy pro zisk energie
- dospělé srdce dva typy dobře vyvinutých mitochondrií (pod membránou a mezi fibrilami)
 - energie hlavně z β -oxidace lipidů
- souvislost s adaptací na vysokohorské podmínky není dosud známa

Ischemická hypoxie – snížení průtoku krve (ischemická choroba, infarkt myokardu)

Hypoxická (systémová) hypoxie – malý parciální tlak kyslíku (některé vady a onemocnění srdce a plic, vysoké nadmořské výšky)

Anemická hypoxie – poruchy v přenosu kyslíku (nedostatek hemoglobinu,...)

Histotoxicická hypoxie – snížení využití kyslíku v buňce (požkození respiračních enzymů, apod.)



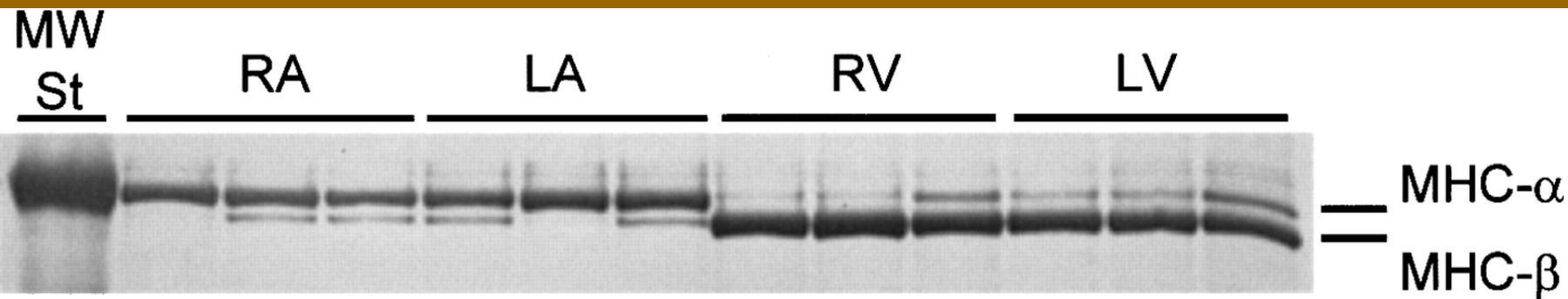
MYOKARD

Pomalý myokard – dominance MHC-(7) β (MHC - myosin heavy chain)

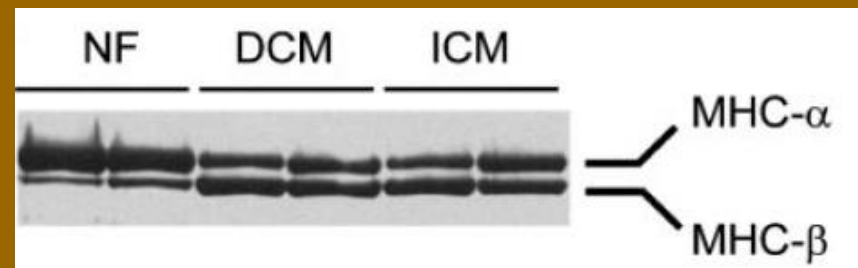
Rychlý myokard – dominance MHC-(6) α

- Specifita druhová: rychlý myokard malí savci, pomalý myokard velcí savci
- Specifita lokální: předsíně x komory

V průběhu embryonálního/fetálního vývoje převaha pomalého myokardu,



The myosin heavy chain (MHC) region of a silver-stained SDS gel on which were loaded 3 fetal samples of the following: right atrium (RA) at gestational (from *left to right*) day 87 (*fetus 328*), day 94 (*fetus 323*), and day 101 (*fetus 321*); left atrium (LA) at gestational day 87 (*fetus 328*), day 94 (*fetus 323*), and day 108 (*fetus 322*); right ventricle (RV) at gestational day 87 (*fetus 300*), day 105 (*fetus 289*), and day 87 (*fetus 328*); and left ventricle (LV) at gestational day 82 (*fetus 329*), day 87 (*fetus 328*), and day 87 (*fetus 300*). A set of molecular weight standards (MW St) containing myosin was loaded in the first lane.



The MHC region of a silver-stained SDS gel on which were loaded samples of adult left atrium from 2 nonfailing (NF) individuals and 2 individuals with dilated cardiomyopathy (DCM) or ischemic cardiomyopathy (ICM).

Relativní parametry myokardu u embrya a dospělého jedince

SRDCE	embryo	adult
Rychlosť kontrakce	pomalá	rychlá
Síla kontrakce	slabá	silná
Palivo	glukóza	mastné kyseliny / laktát
Konzentrace ATP	nízká	vysoká
Konzentrace Ca^{2+}	nízká	vysoká
pH	kyselé	neutrální

Vlastnosti MHC

Myosin heavy chain	MHC-α	MHC-β
Rychlosť kontrakce	rychlá	pomalá
Síla kontrakce	velká	malá
Afinita k ATP	malá	vysoká

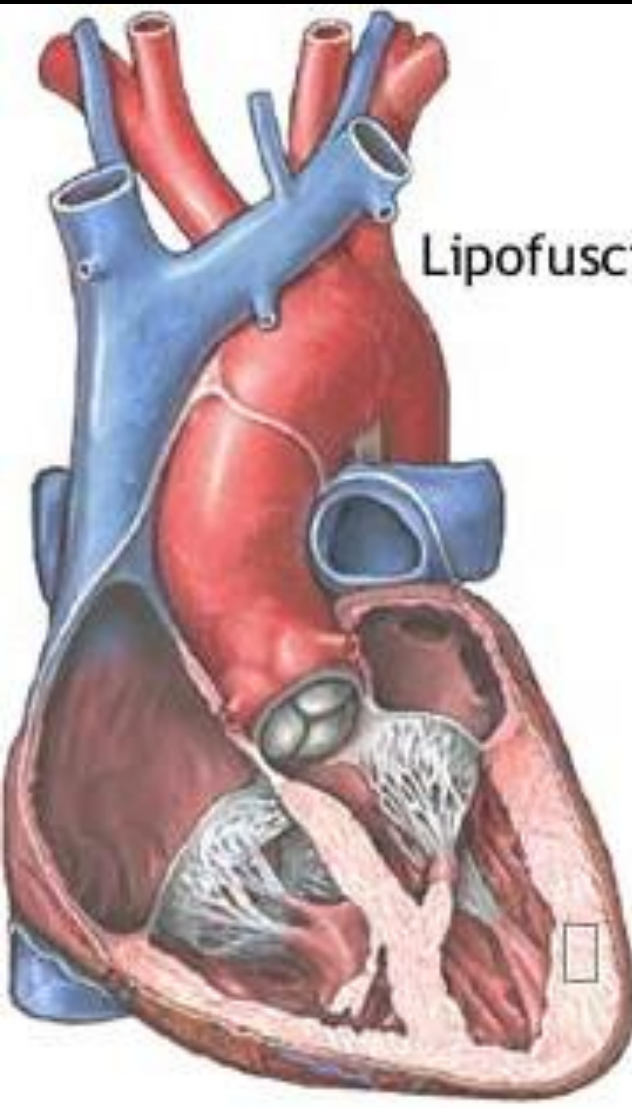
Hypoxie na molekulární úrovni

- hypoxie vede k produkci reaktivních kyslíkových radikálů (ROS)
- ROS ovlivňují dráhy signální transdukce
- ROS požkozují buněčné komponenty
- ukládání lipofuscinu*) do svalů (myokard a hladká svalovina), hepatocytů, neuronů,...
- hypoxie indukuje HIF (hypoxia inducible factor)

Lidé nížin adaptovaní na 5 500 m.n.m. versus Tibetani

- o 20% nižší hustota mitochondrií ve svalech
- o 25% nižší oxidativní enzymatická aktivita
- aktivity glykolytických enzymů s minimálními změnami
- Tibetani 4x více glutathion-S-transferázy (isoenzym P1-1) => syntéza glutathionu
- u Tibetanů
 - zvýšená exprese Δ^2 -enoyl-CoA-hydrolázy (oxidace mastných kyselin v mitochondriích)
 - méně tuku ve svalových vláknech
 - zvýšený metabolismus tuků – adaptace na vysokohorské prostředí ???

*)Lipofuscin – hnědý pigment, vznik oxidací lipidů -> požkozování membrán

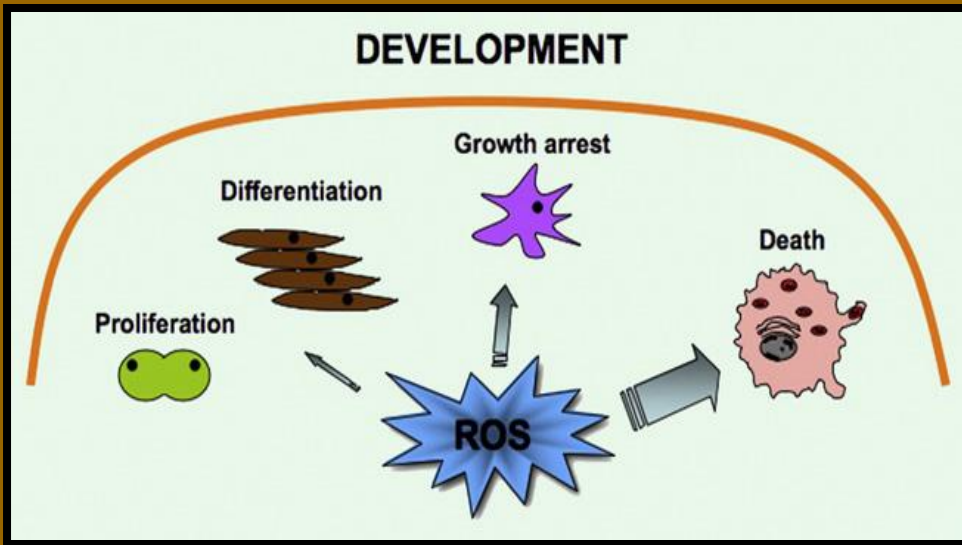
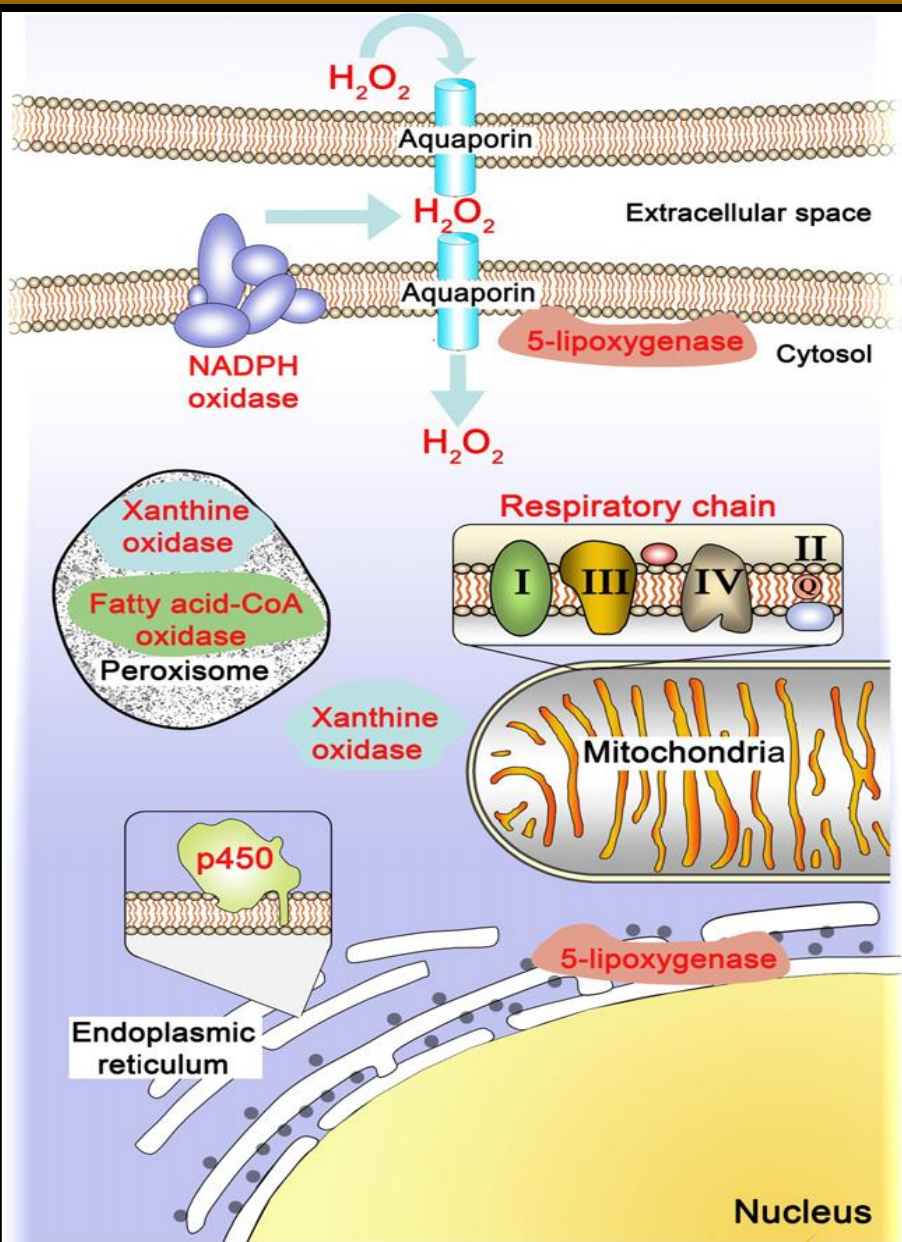


Ukládání lipofuscinu v myokardu

Cardiac Muscle
Lipofuscin

10 μm
10 μm

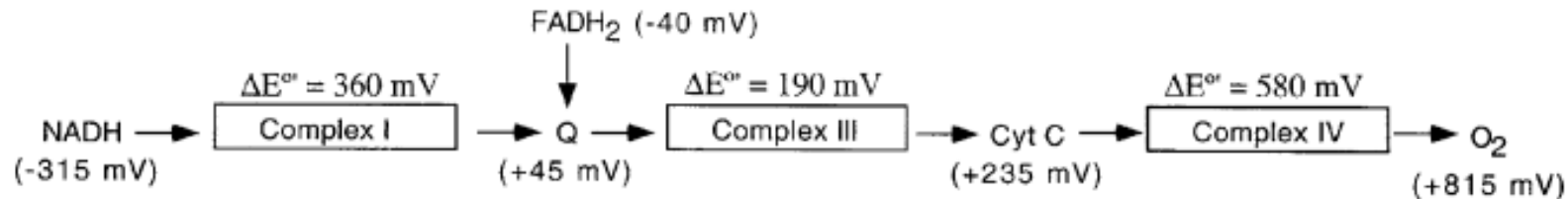
Produkce a účinky ROS na buněčné úrovni



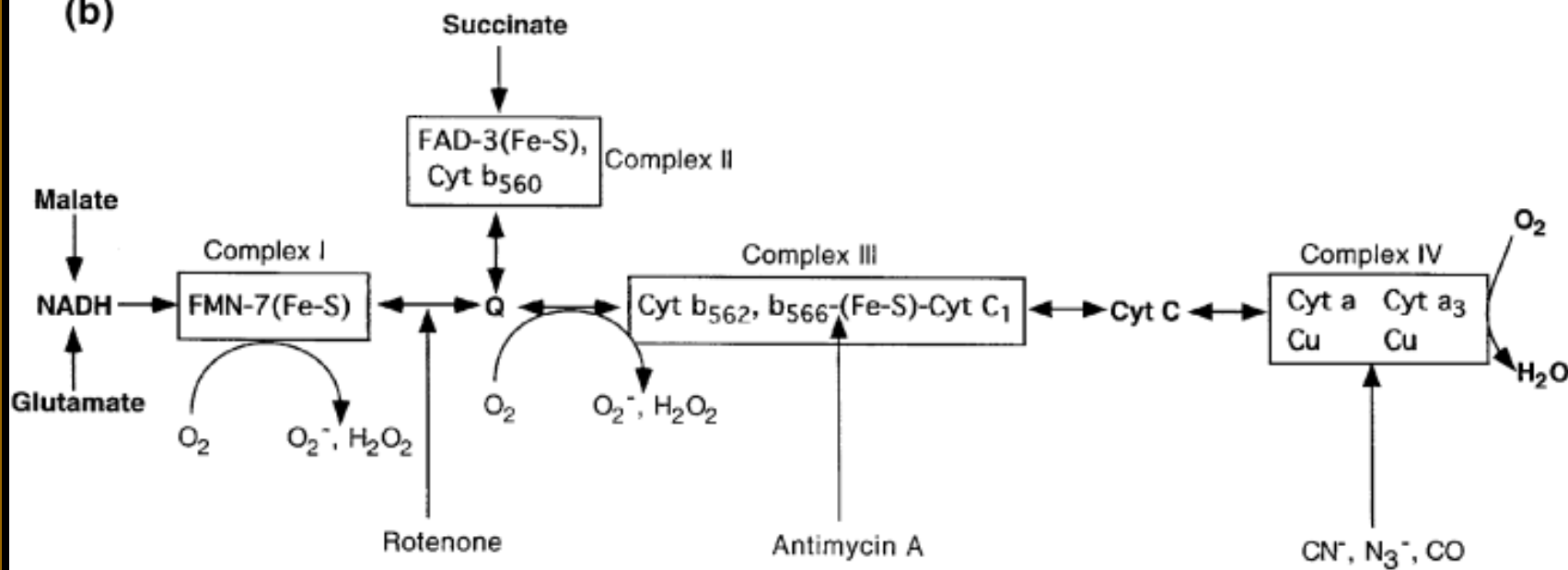
Luis Covarrubias, et al., 2008.
Developmental Biology 320:1-11.

Produkce ROS v mitochondriálním respiročním řetězci

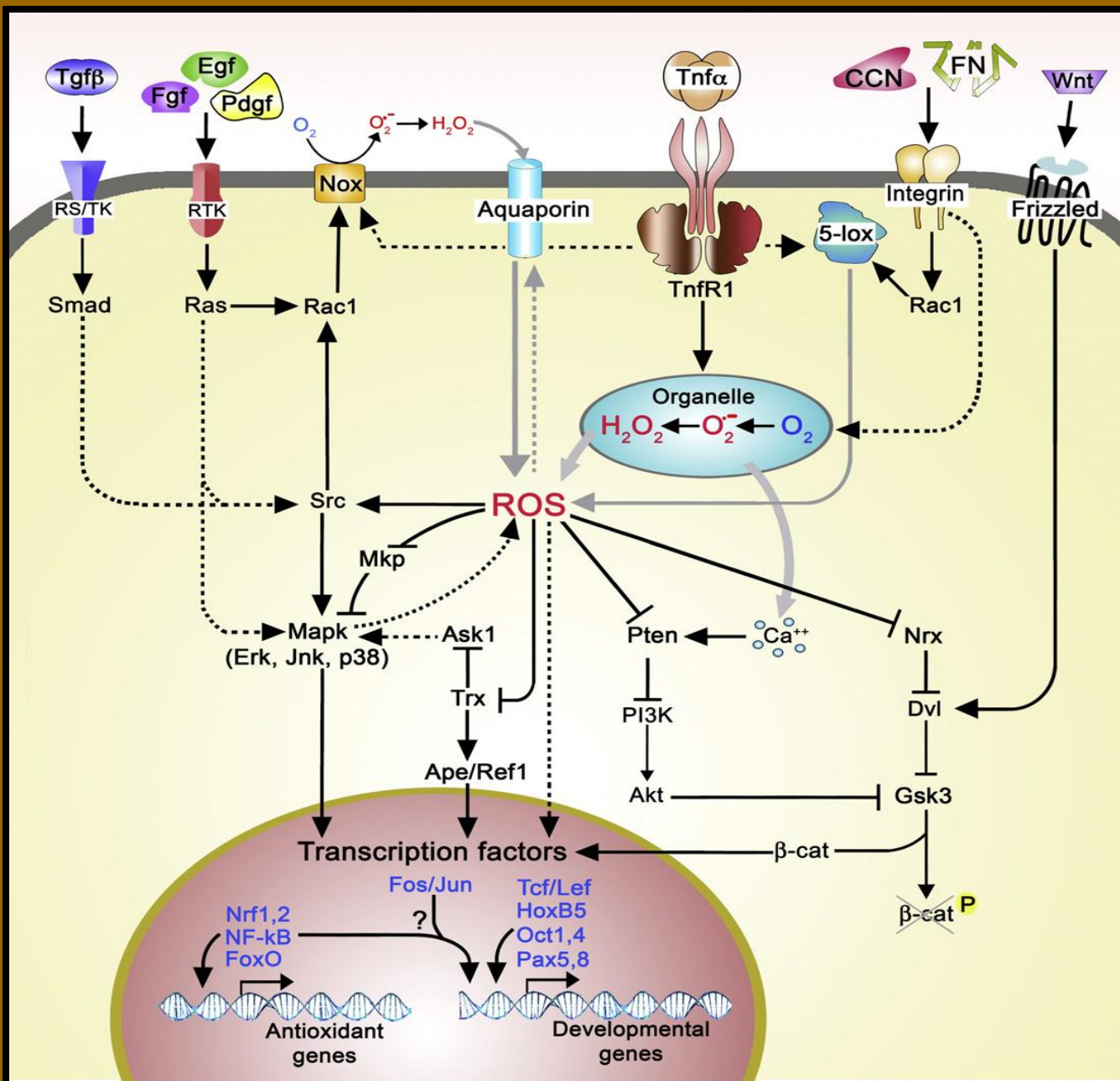
(a)



(b)

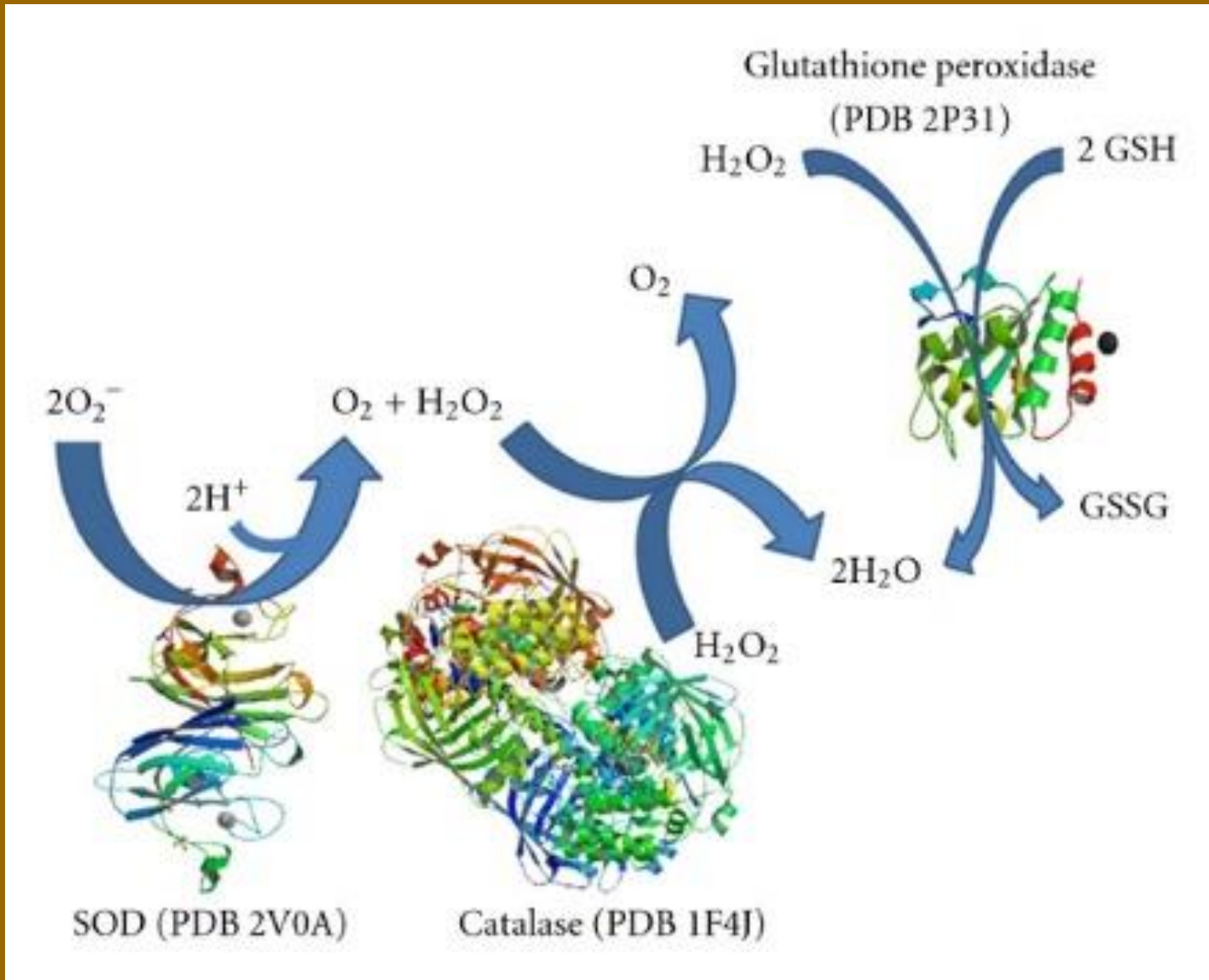


Některé interakce ROS s intracelulárními signálními drahami

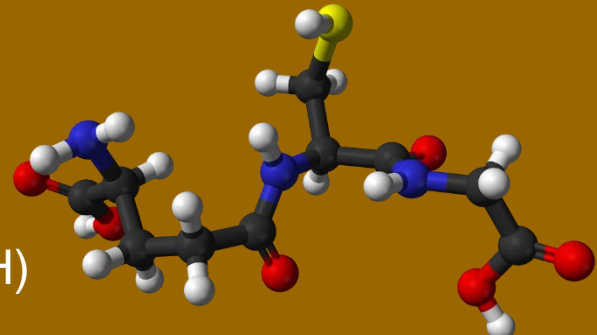


Nejvýznamnější mechanismy chránící proti ROS

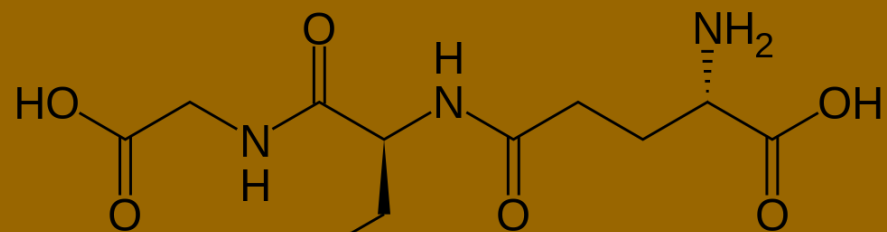
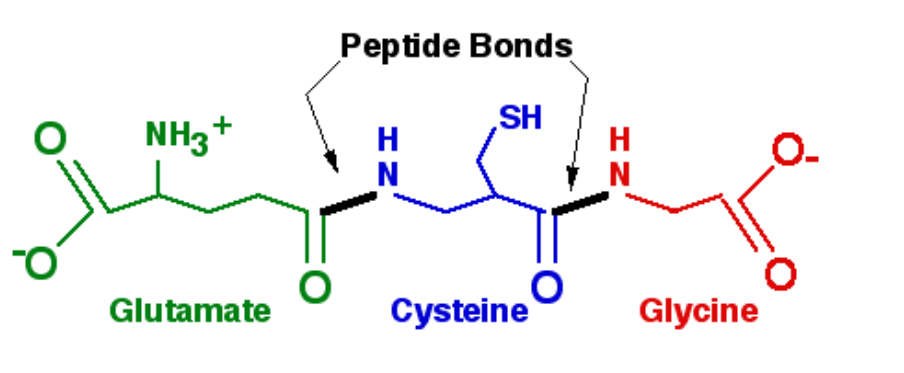
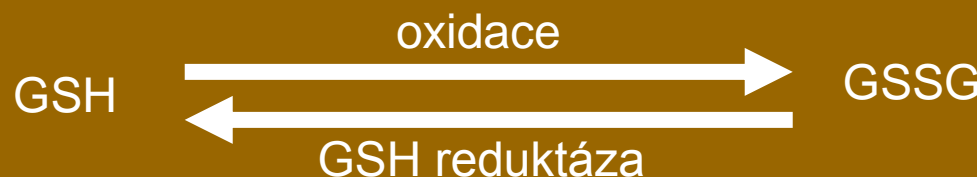
- degradační enzymy – kataláza, superoxid dismutáza,...



Neenzymatické antioxidanty

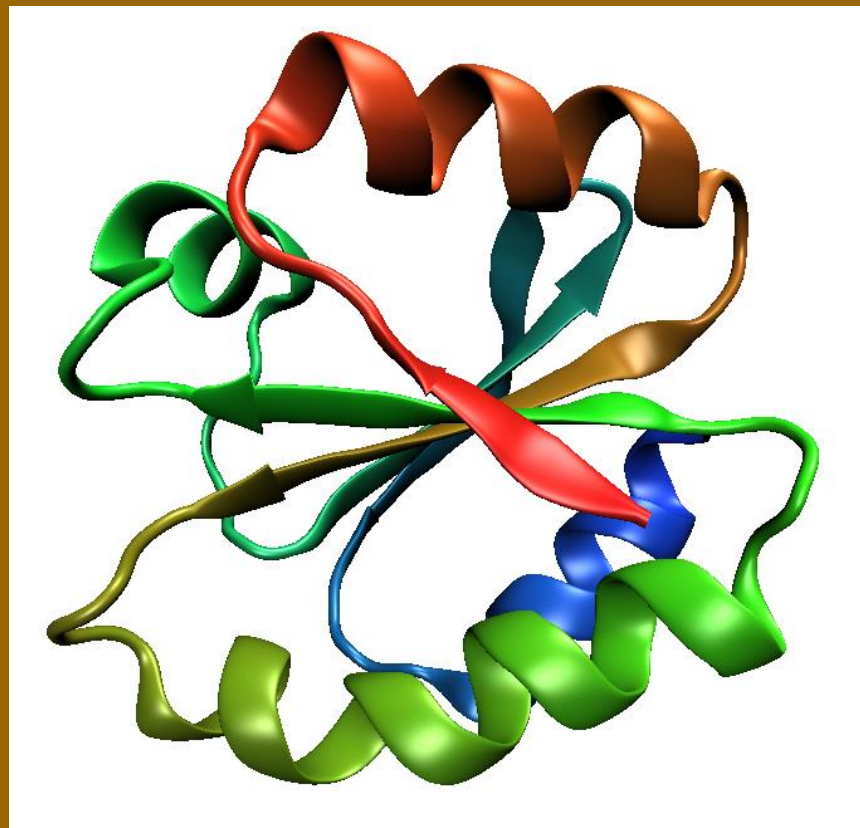


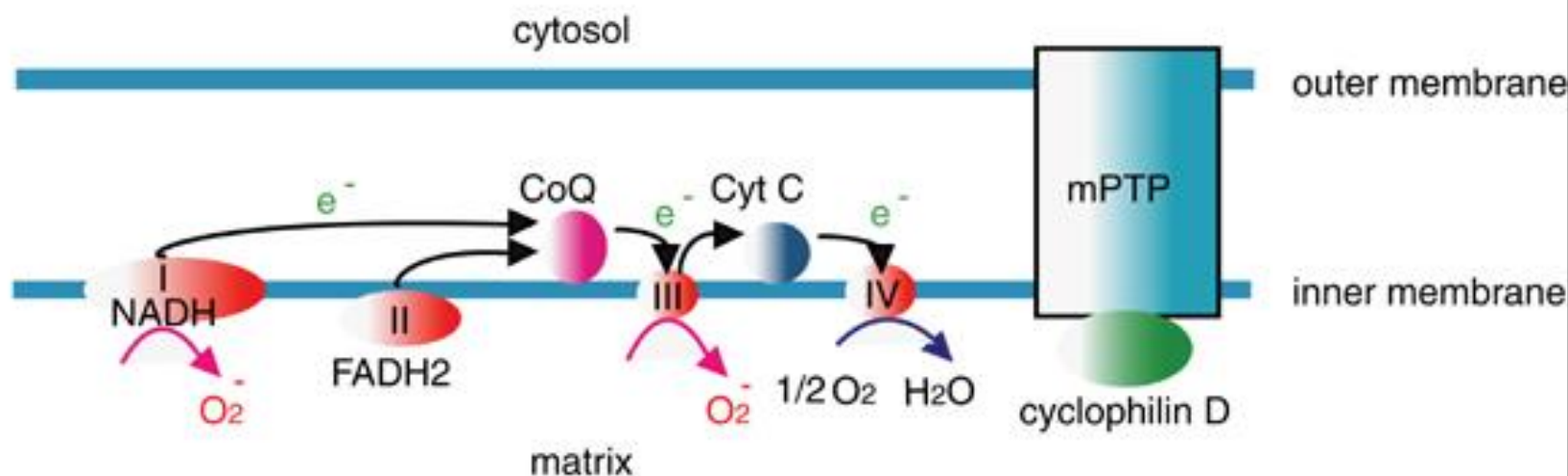
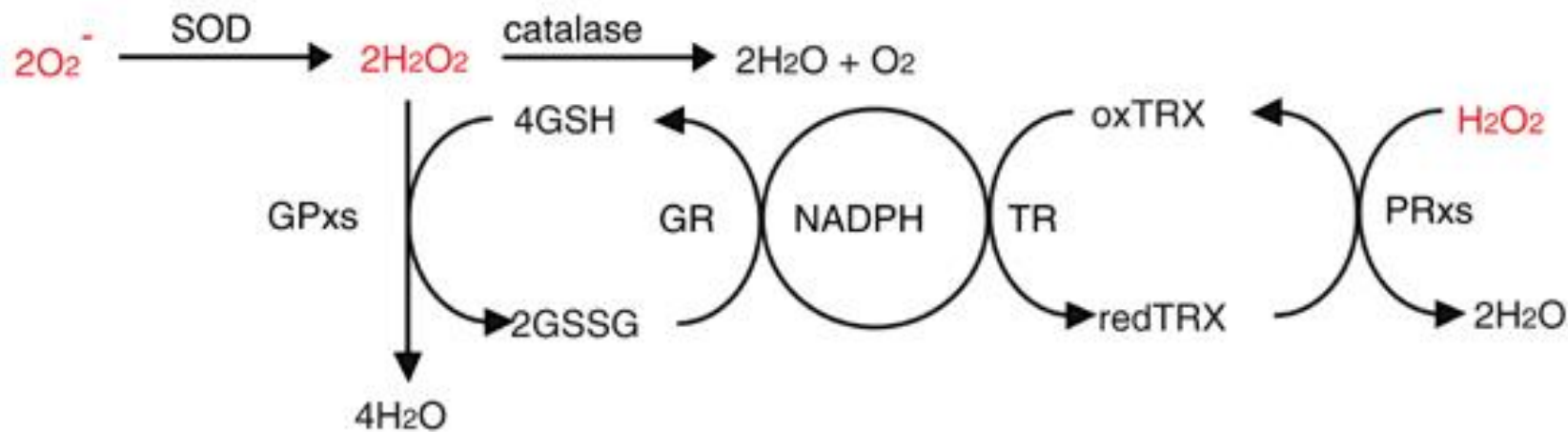
Glutathion (γ -glutamyl-cysteinyl-glycine; GSH)



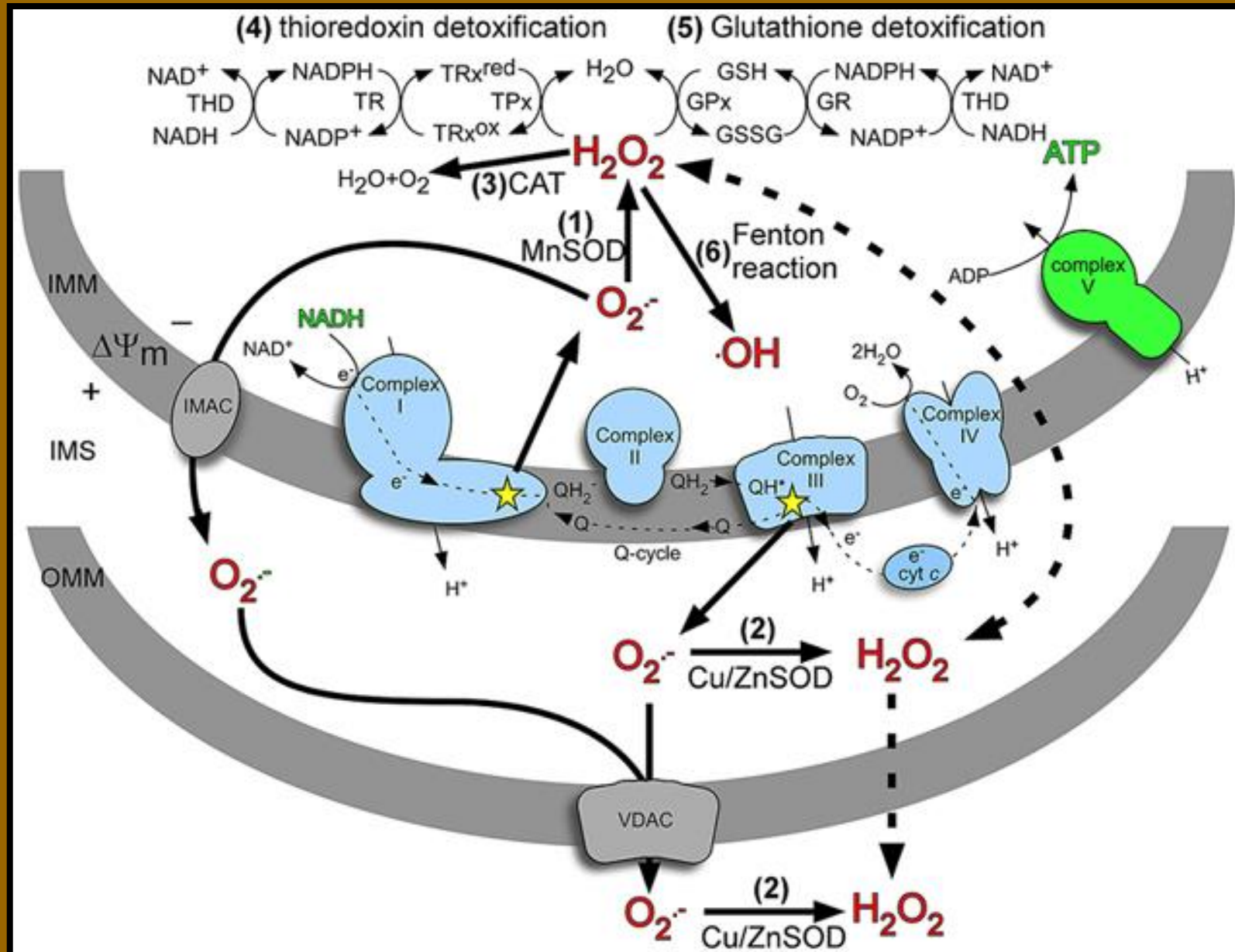
Thioredoxiny (Trx1,2,3) a glutaredoxiny (Grx1,2)

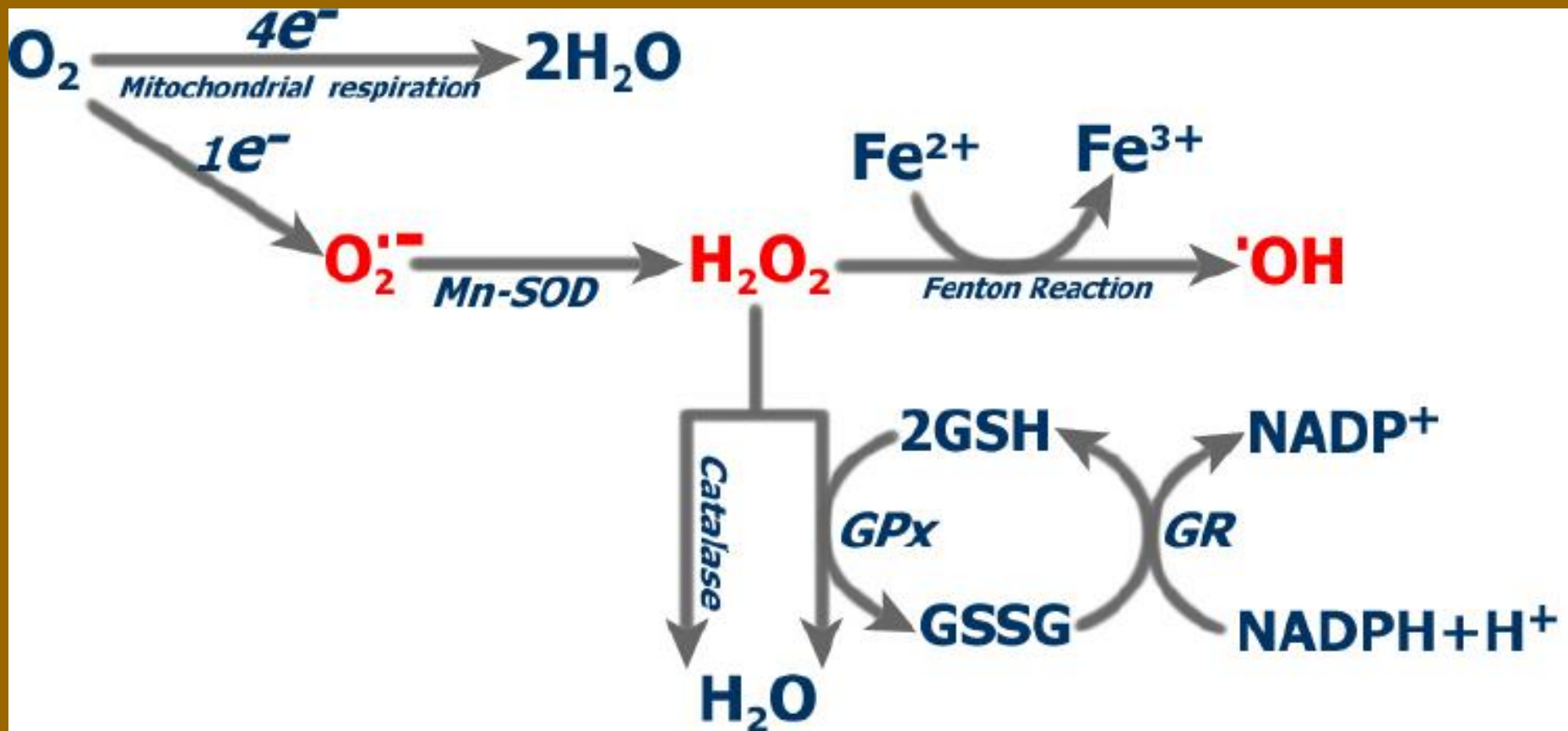
- malé peptidy s aktivním disulfidovou skupinou)
- Trx reduktázy (3): Trx1 a TrxR1 – cytosol, nukleus
Trx2 a TrxR2 – mitochondrie
- Grx reduktázy (2): Grx2 a GrxR2 – mitochondrie, nukleus



a**b**

Produkce a detoxikace ROS v mitochondriích (souhrn)





Význam jednotlivých proteinů podílejících se na oxidačních procesech

(Covarrubias, et al. 2008)

Phenotype of mice homozygous for null alleles of genes encoding antioxidant and prooxidant proteins^a

Phenotype	Genotype	Stage ^b	Brief description of defect	Reference
Early developmental lethality	<i>Aif</i> ^{-/-}	E9	Small size caused by abnormal cell death	Brown et al. (2006)
	<i>Cyt c</i> ^{-/-}	E8.5	Embryo developmental delay and deficient cell growth	Li et al. (2000)
	<i>Ref1</i> ^{-/-}	E5.5	Abundant cell death and expanded proamniotic cavity	Xanthoudakis et al. (1996)
	<i>Gpx4</i> ^{-/-}	E7.3	Failed to form well-organized embryonic structures	Yant et al., 2003; Imai et al. 2003
	<i>γGcs</i> ^{-/-}	E8.5	Defects in gastrulation	Shi et al. (2000)
	<i>Trx1</i> ^{-/-}	E5	Failure to hatch, proliferation affected on ICM cells	Matsui et al. (1996)
	<i>Trx2</i> ^{-/-}	~E10.5	Anterior neural tube open	Nonn et al. (2003)
	<i>TrxR1</i> ^{-/-}	E9.5–10.5	Development retardation and reduced proliferation	Jakupoglu et al. (2005)
Postnatal defects	<i>TrxR2</i> ^{-/-}	E13.5	Reduced size and dysplasia of cardiac tissue	Conrad et al. (2004)
	<i>Sod1</i> ^{-/-}	20 months	Shorten life span probably due to the development of hepatocarcinomas	Elchuri et al. (2005)
	<i>Sod1</i> ^{-/-} ; <i>Sod3</i>	20 months	Idem and increased oxidative damage	Sentman et al. (2006)
	<i>Sod2</i> ^{-/-}	10 days	Neurodegeneration and enlarged heart	Lebovitz et al. (1996)
	<i>Sod2</i> ^{-/-} ; <i>TgSod1</i>	16 days	Idem	Copin et al. (2000)
Infertility	<i>Gpx1</i> ^{-/-} ; <i>Gpx2</i> ^{-/-}	3 months	Growth retardation, intestine mucosal inflammation, and hypothermia	Esworthy et al. (2001)
	<i>Prdx1</i> ^{-/-}	9 months	Short life span, anemia and cancer	Neumann et al. (2003)
	<i>Prdx2</i> ^{-/-}	6 weeks	Anaemic and bigger spleen	Lee et al. (2003)
	<i>Sod1</i> ^{-/-}	Adult female	Reproductive performance affected causing postimplantation embryo death	Matzuk et al. (1998)
Viable	<i>Cas</i> ^{-/-}		Frequently show increased sensitivity to oxidative stress in adult animals	Ho et al. (2004)
	<i>Sod3</i> ^{-/-}			Carlsson et al. (1995)
	<i>Gpx1</i> ^{-/-}			Ho et al. (1997)
	<i>Gpx2</i> ^{-/-}			Esworthy et al. (2001)
	<i>Gr</i> ^{-/-}			Rogers et al. (2004)
	<i>Prdx3</i> ^{-/-}			Li et al. (2007)
	<i>Prdx6</i> ^{-/-}			Wang et al. (2003)
	<i>Nox1</i> ^{-/-}			Gavazzi et al. (2006)
	<i>Nox2</i> ^{-/-}			Pollock et al. (1995)
	<i>Nox3</i> ^{-/-}			Paffenholz et al. (2004)